



# PEF3200 – Introdução à Mecânica das Estruturas

Aula 3 - 12/04/2023

O conceito de tensão. Esforços solicitantes. Teorema fundamental.  
Diagramas de esforços solicitantes de estruturas planas.

Prof. Martin Paul Schwark

Prof. Osvaldo Shigueru Nakao

Prof. Valério S. Almeida

# O que vimos na aula 1:

- Como é a disciplina e o que vamos ver ao longo do semestre
- Quais são os materiais de apoio disponíveis
- A programação da disciplina, aula por aula
- O que há de diferente na mecânica dos sólidos deformáveis
- O que são as estruturas, e que elas estão em tudo, por todos os lados
- O conceito de modelos físicos e modelos matemáticos
- Algumas classificações das estruturas
- As principais ações que atuam sobre as estruturas
- Uma revisão rápida de alguns pontos da mecânica

# O que vimos na aula 2:

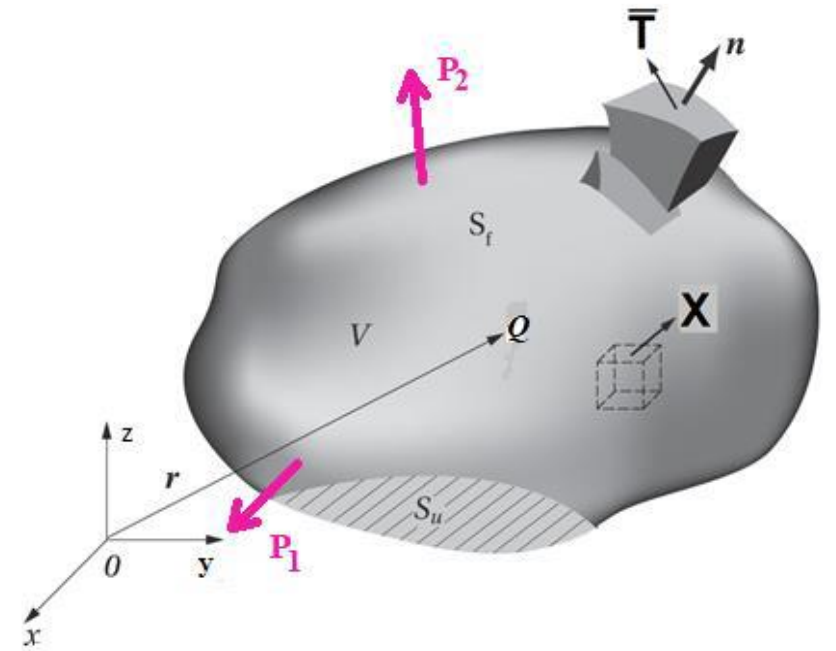
- Exemplos de deformadas de estruturas simples
- Movimentos em sistemas materiais e vínculos que os impedem
- Estaticidade
- Estruturas hipostáticas, isostáticas e hiperestáticas
- Grau de hiperestaticidade
- As simplificações adotadas nesta disciplina
- Exemplos de cálculo de reações de apoio

# O que vamos ver nesta aula:

- Tensões
- Esforços solicitantes
- O Teorema Fundamental da Resistência dos Materiais
- Diagramas de esforços solicitantes

# Tensão

- Imagine um sólido deformável ( $V$ ) em equilíbrio estático, sujeito a forças de contato  $P_1, P_2 \dots$
- Realize um recorte imaginário de um pedaço deste corpo
- Este pedaço também terá que estar em equilíbrio estático
- Os esforços que ocorrem sobre as faces de recorte deste pedaço são chamados de tensões



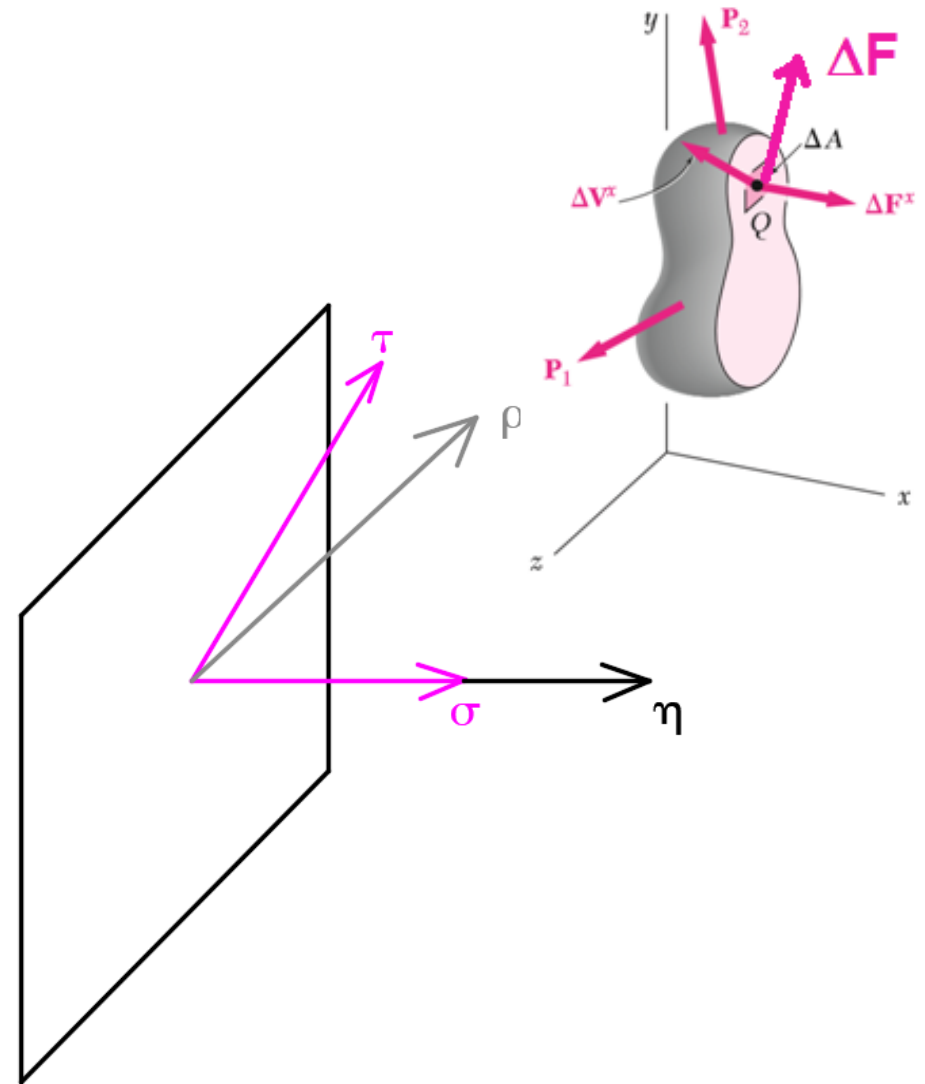
# Tensão

- Se o recorte for um plano n
- Tensão  $\rho$  em um ponto Q deste plano

$$\rho_n = \lim_{\Delta A \rightarrow 0} \frac{\Delta F}{\Delta A}$$

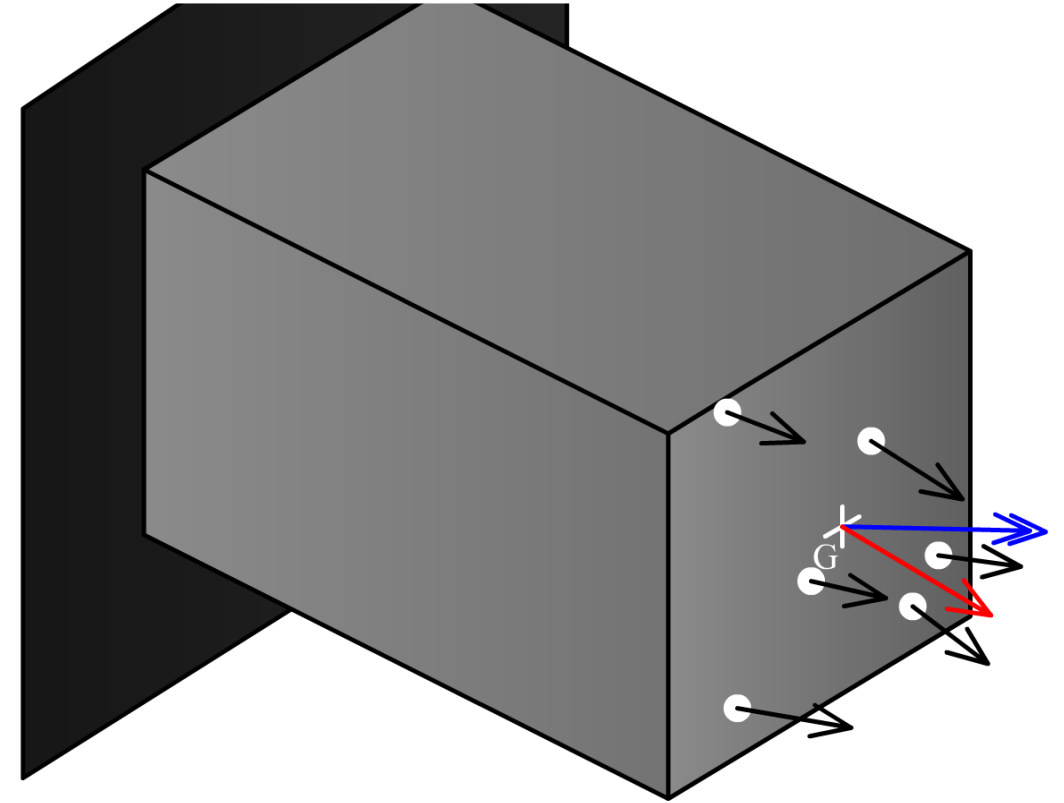
$$\rho_n = \sigma + \tau$$

- Tensão normal  $\sigma$  (normal ao plano de corte)
- Tensão de cisalhamento  $\tau$  (paralela ao plano de corte)



# Tensões em barras

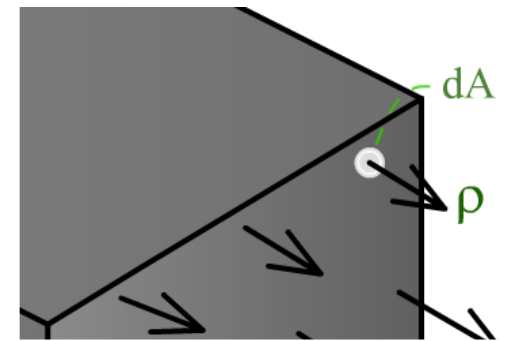
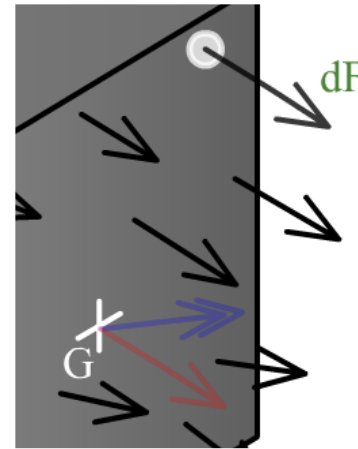
- Barras são elementos estruturais lineares, onde uma dimensão prevalece sobre as outras duas.
- Os planos de corte normais à direção predominante são chamadas de seções transversais.
- O estudo das seções transversais traz muita luz ao entendimento do comportamento estrutural.
- Há uma relação biunívoca entre a distribuição das tensões e as forças e momentos resultantes que atuam nas seções transversais



# Tensões na seção transversal

- Tensão:  $\vec{\rho} = \vec{\sigma} + \vec{\tau}$
- Tensão normal à seção transversal:  $\vec{\sigma}$  (tensão normal)
- Tensão paralela à seção transversal:  $\vec{\tau}$  (tensão de cisalhamento)

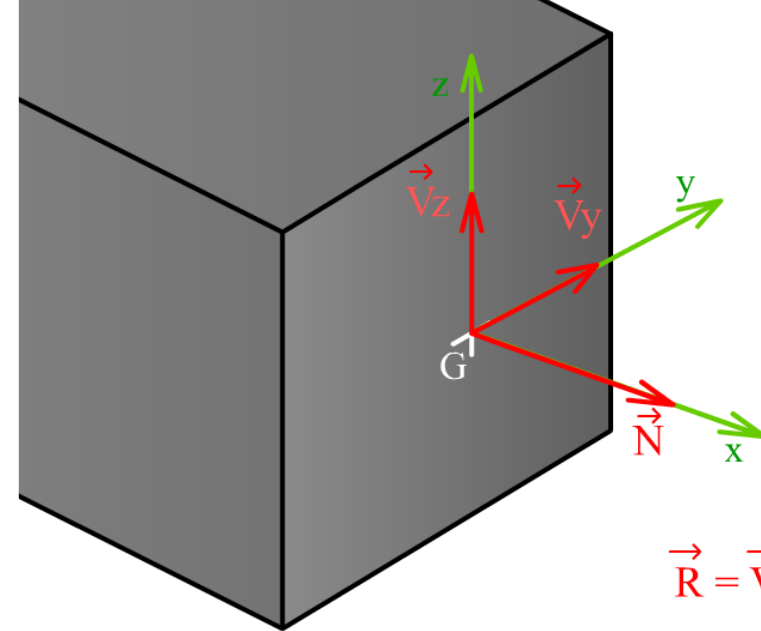
$$\vec{\rho}_{média} = \lim_{\Delta A \rightarrow 0} \frac{\vec{\Delta F}}{\Delta A}$$





# Esforços solicitantes

- Esforços solicitantes: forças e momentos resultantes das tensões transferidas para o centroide (G) da seção transversal
- N – força normal
- V – força cortante
- M – momento fletor
- T – momento torçor

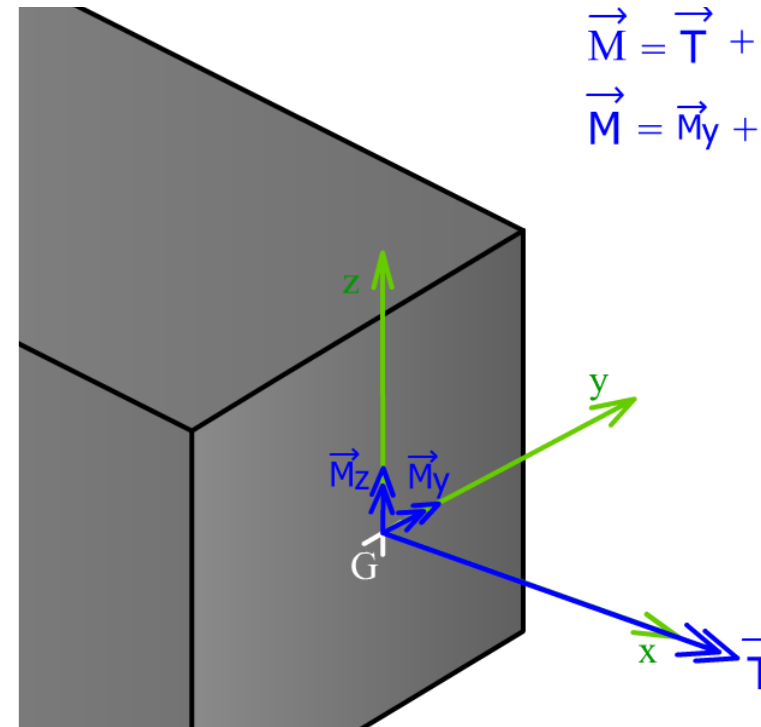


$$\vec{R} = \vec{V} + \vec{N}$$

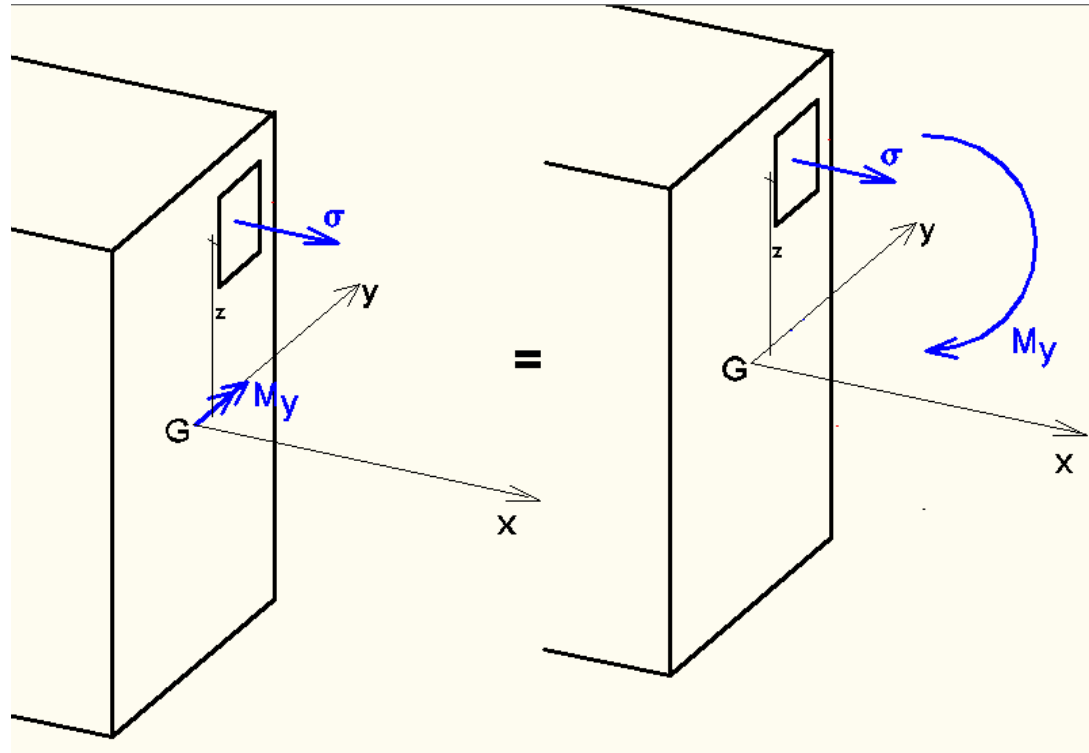
$$\vec{V} = \vec{V}_y + \vec{V}_z$$

$$\vec{M} = \vec{T} + \vec{M}$$

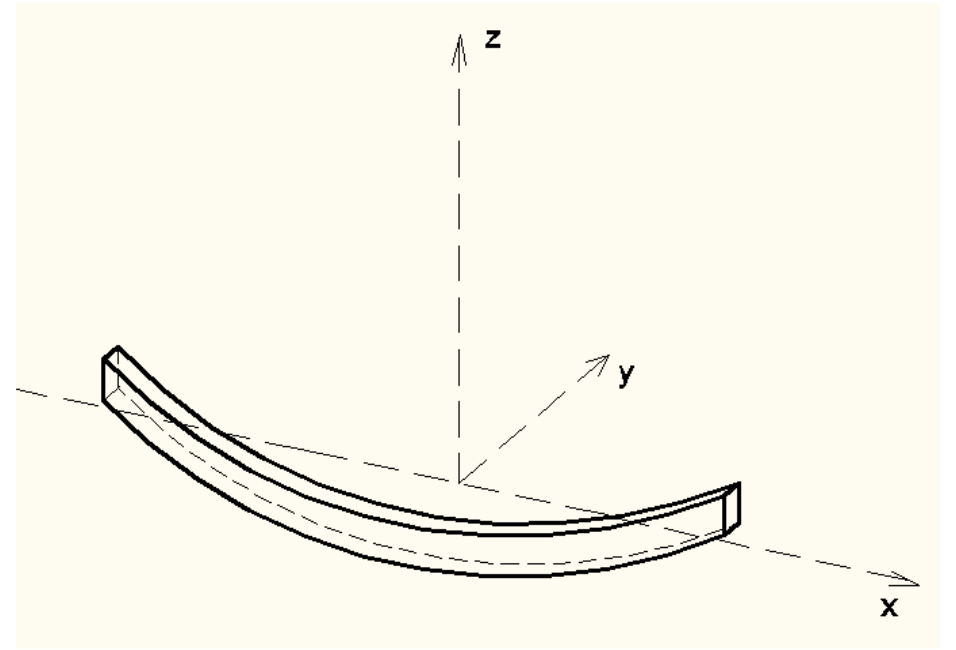
$$\vec{M} = \vec{M}_y + \vec{M}_z$$



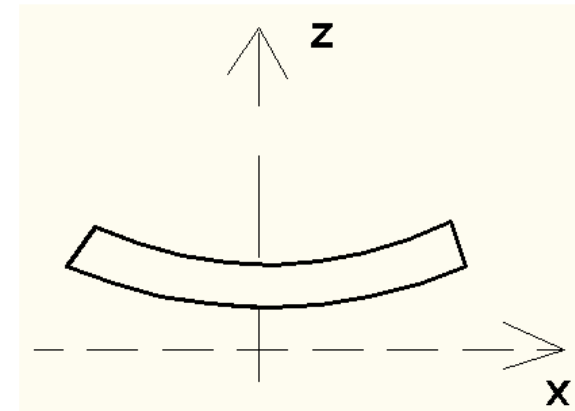
# Momento fletor $M_y$



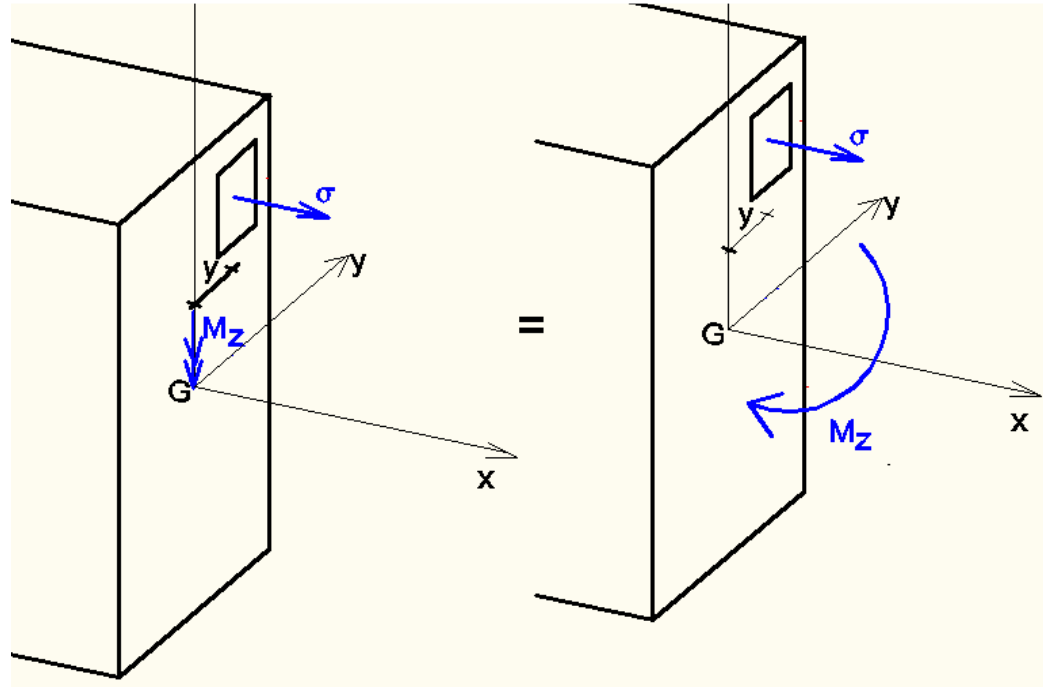
$$M_y = \int_A \sigma \cdot z \, dA$$



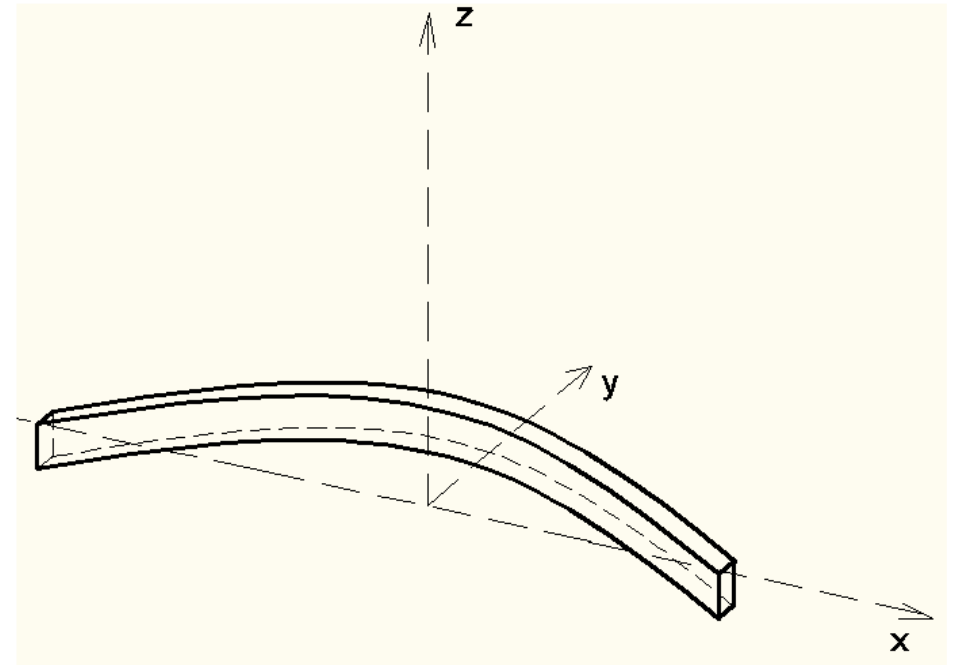
Curvatura em torno de  $y$



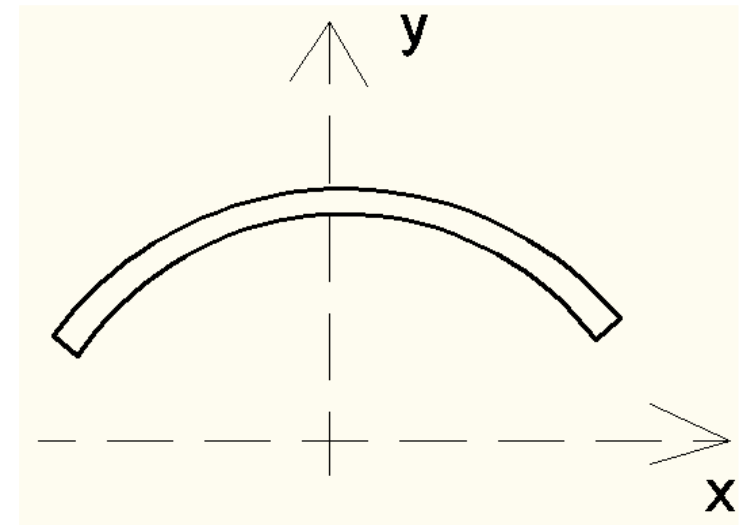
# Momento fletor $M_z$



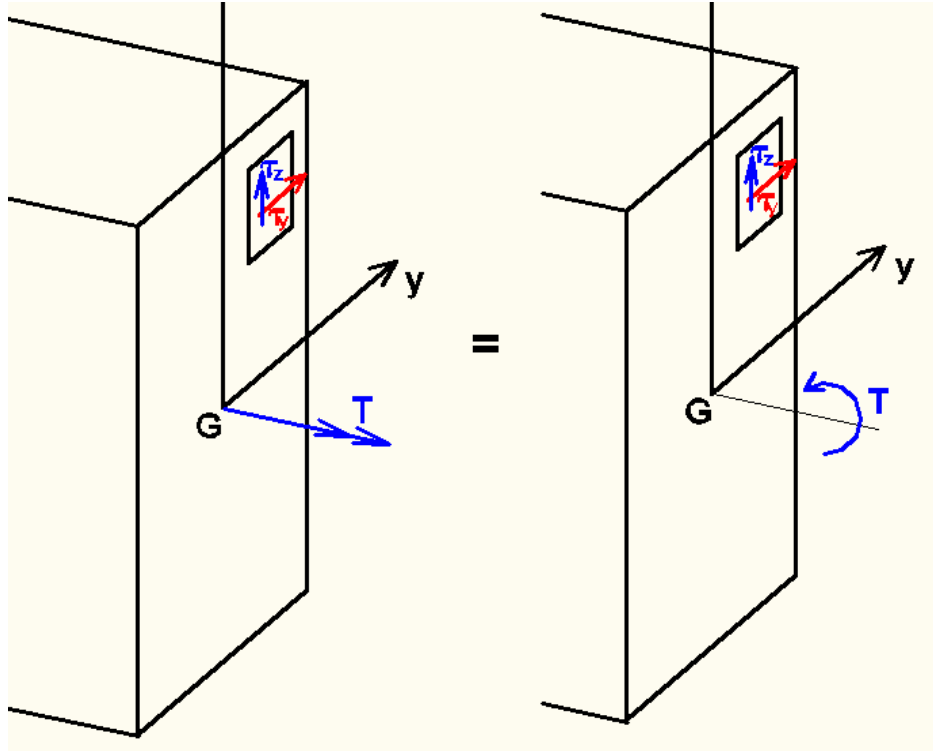
$$M_z = \int_A \sigma \cdot y \, dA$$



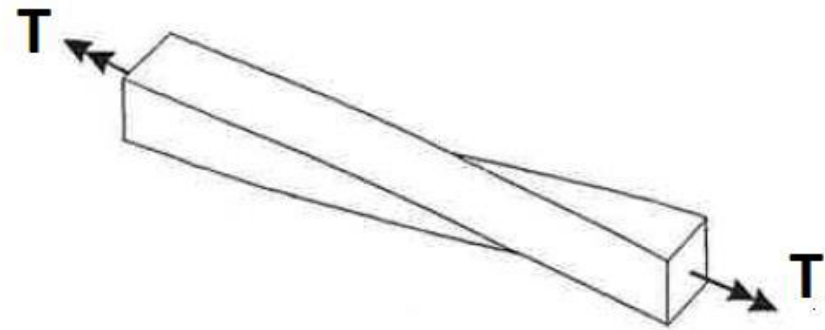
Curvatura em torno de z



# Momento torçor $T$

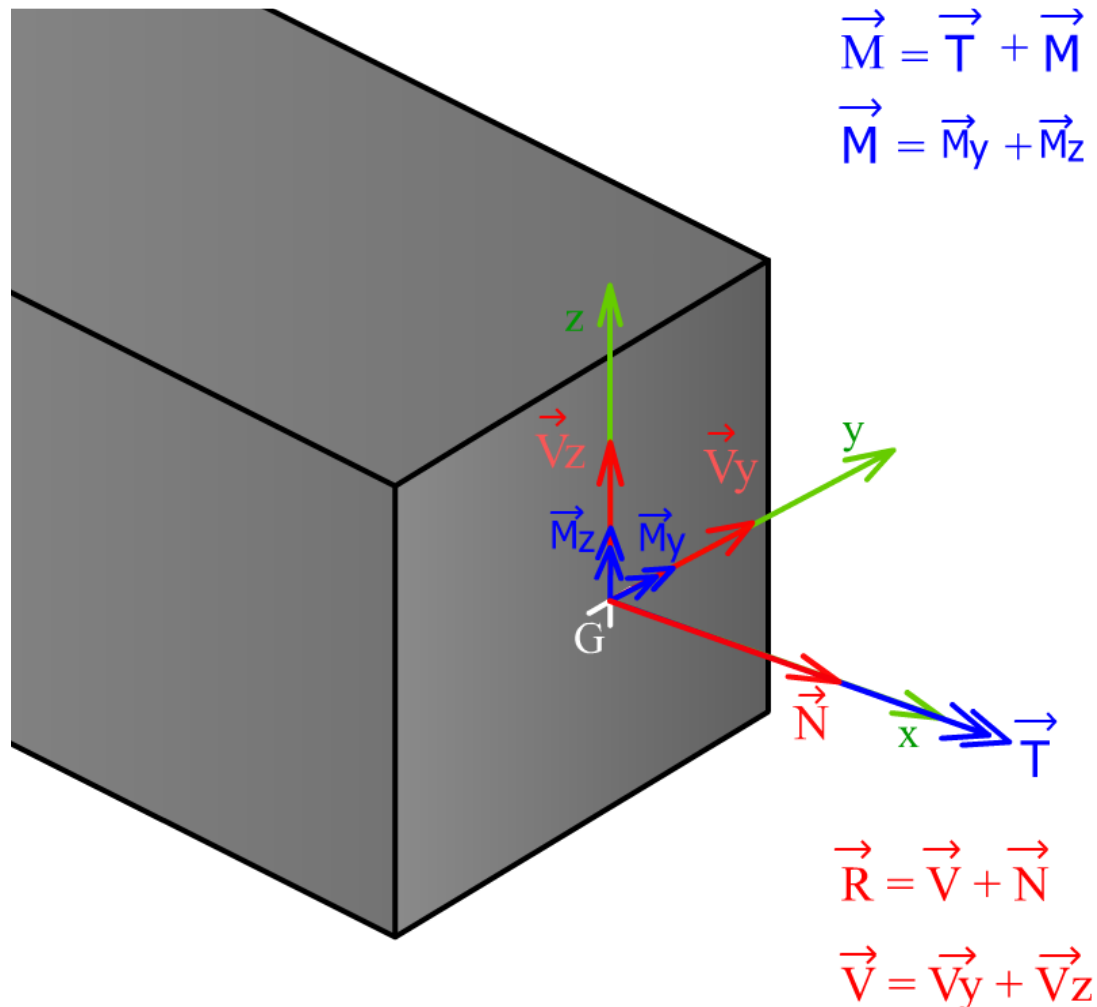


$$T = \int_A (\tau_z y - \tau_y z) dA$$



Torção em torno de x

# Esforços sollicitantes em barras



$$N = \int_A \sigma dA$$

$$V_y = \int_A \tau_y dA$$

$$V_z = \int_A \tau_z dA$$

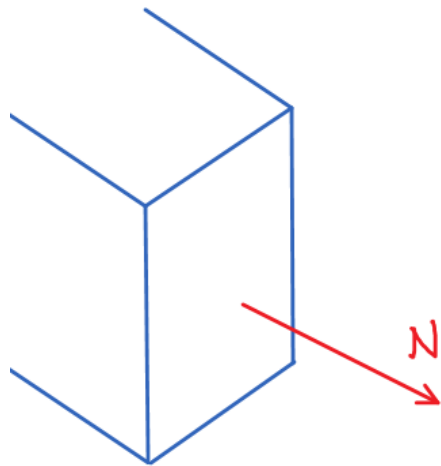
$$M_z = \int_A \sigma \cdot y dA$$

$$M_y = \int_A \sigma \cdot z dA$$

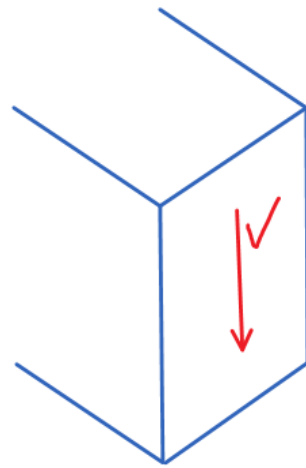
$$T = \int_A (\tau_z y - \tau_y z) dA$$

# Estruturas reticuladas planas

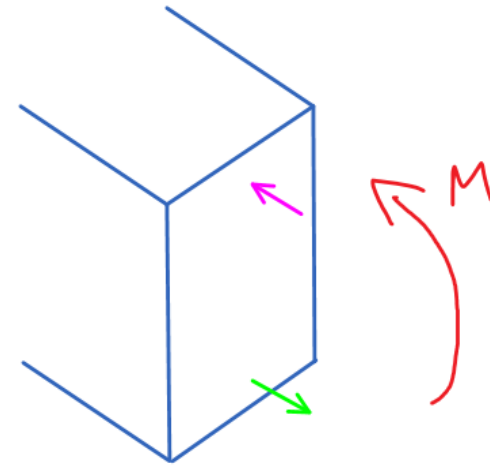
- Para o caso de estruturas reticuladas planas, podemos estudar apenas três componentes de força, podendo dispensar os índices



Força normal

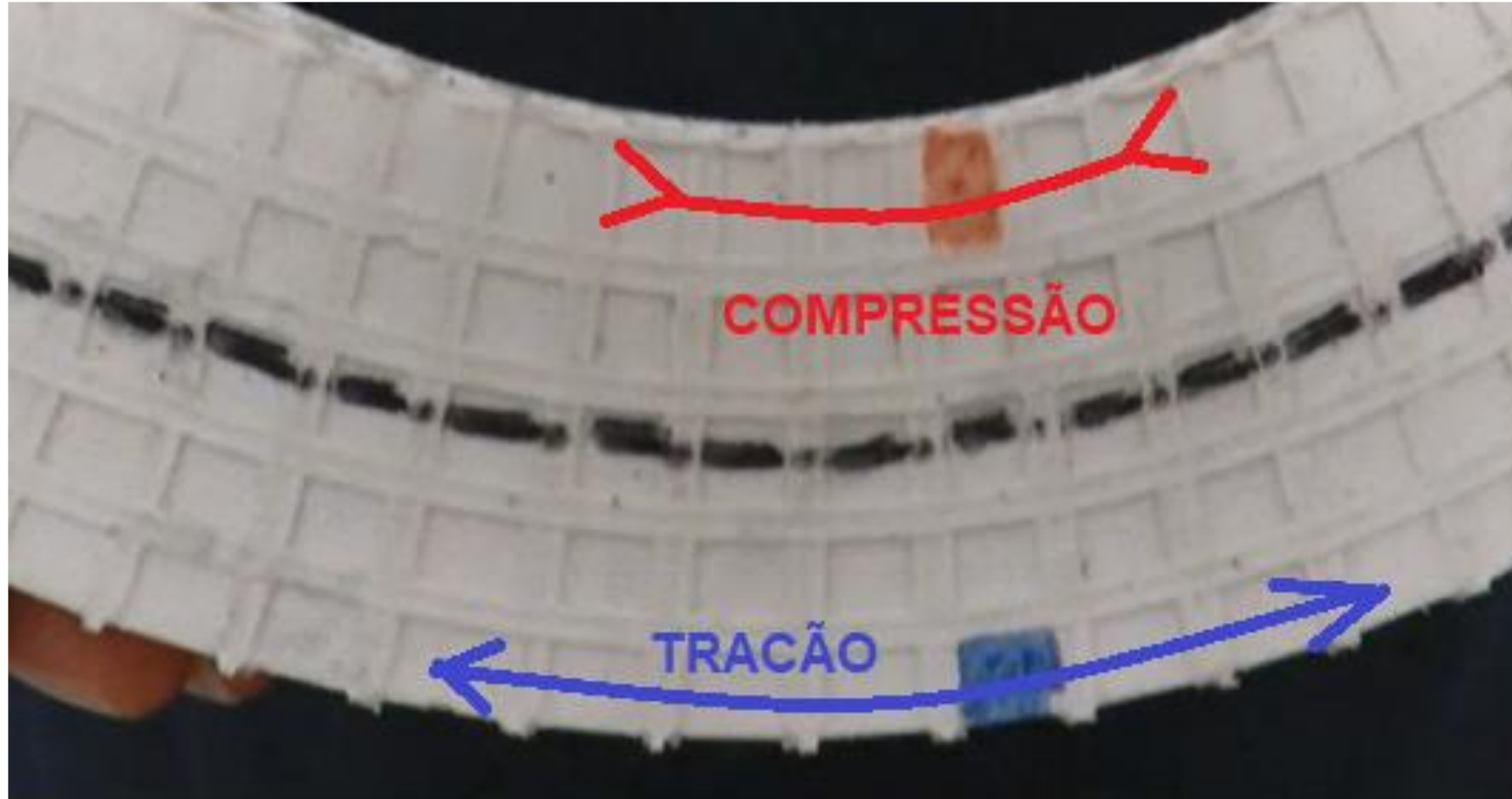


Força cortante



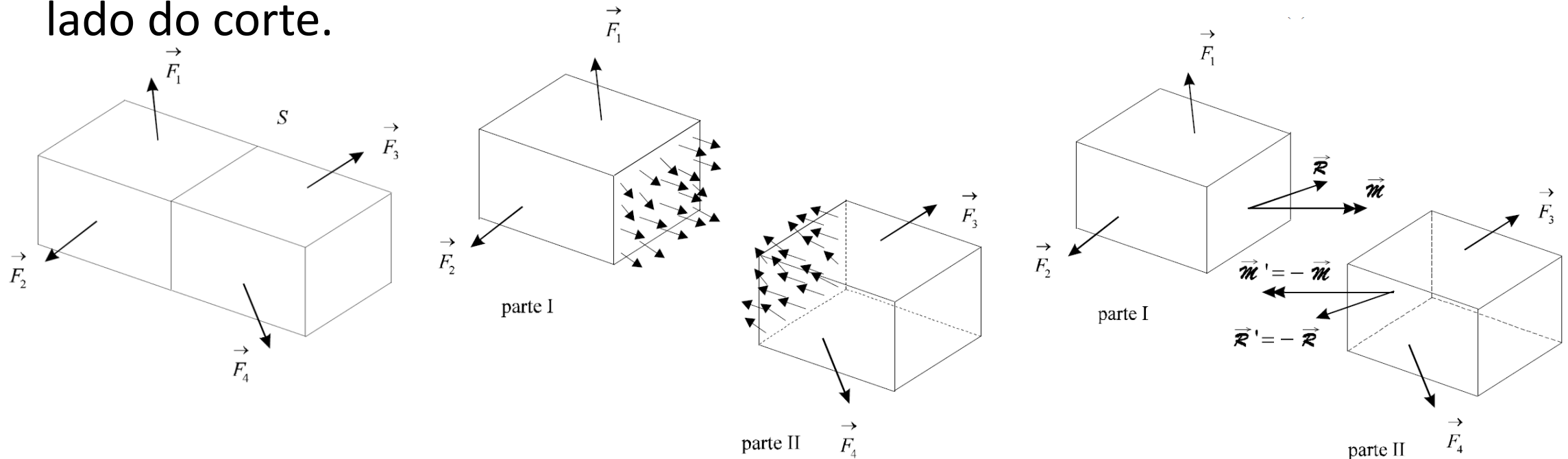
Momento fletor

# Momento fletor



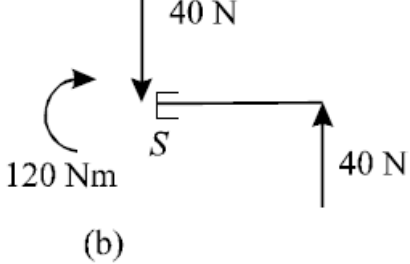
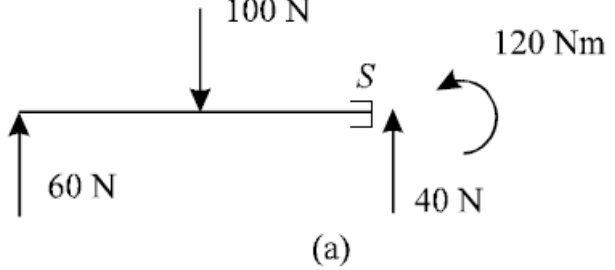
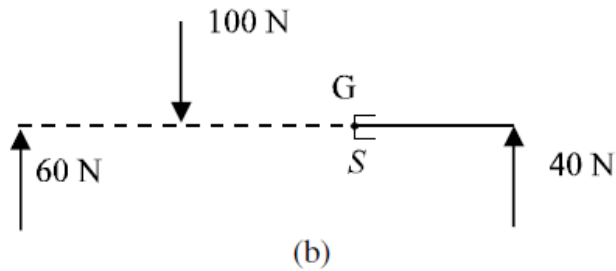
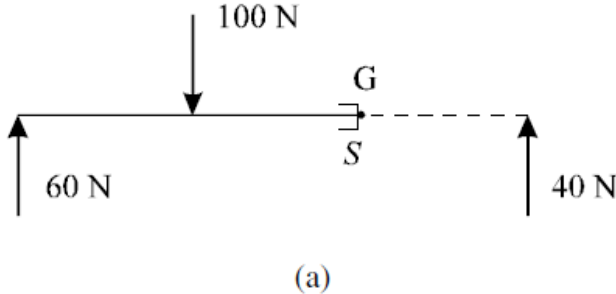
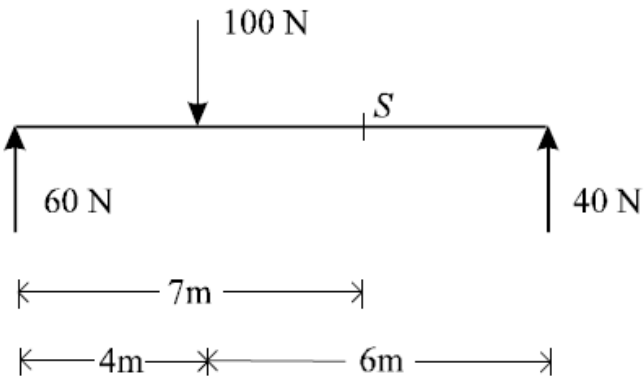
# Teorema fundamental

Os esforços solicitantes que atuam em uma seção transversal de uma barra podem ser obtidos cortando a barra nesta seção e reduzindo no seu centro de gravidade ou todos os esforços externos aplicados de um lado do corte, ou então todos os esforços externos aplicados do outro lado do corte.

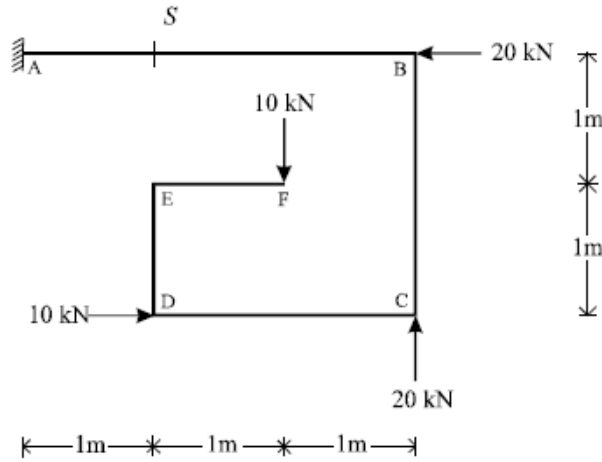




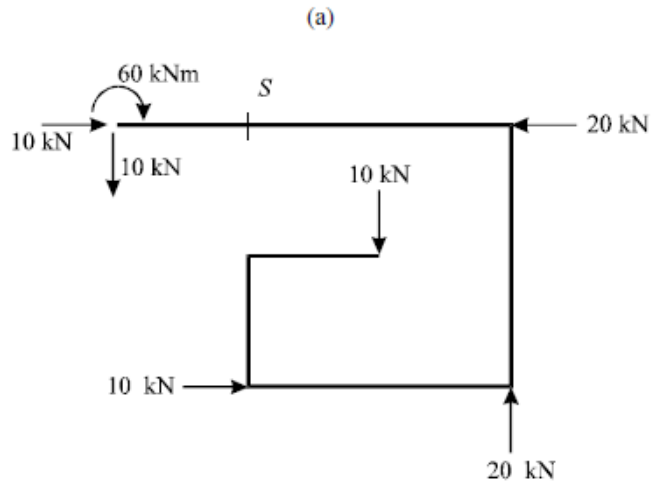
# Teorema fundamental



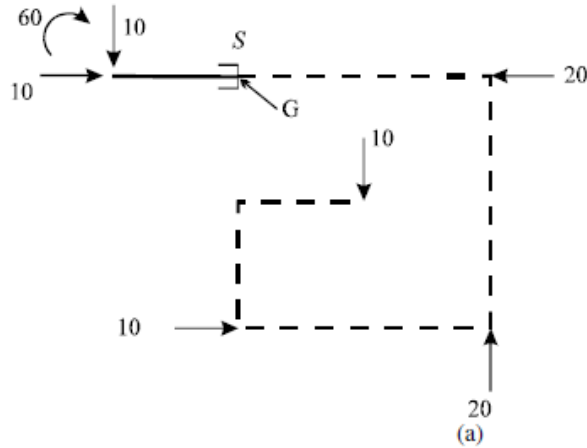
# Teorema fundamental



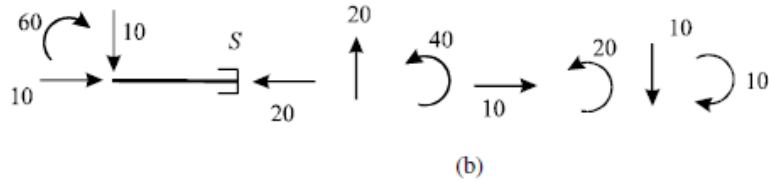
(a)



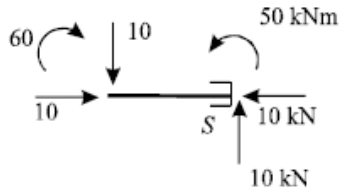
(b)



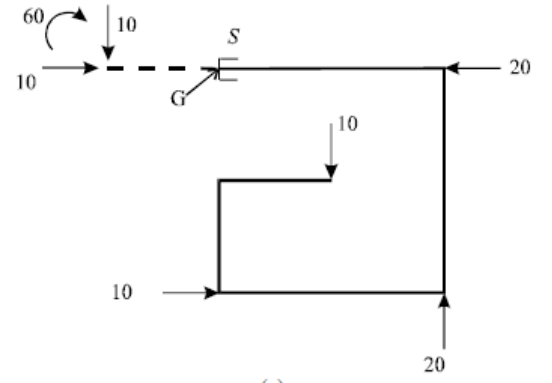
(a)



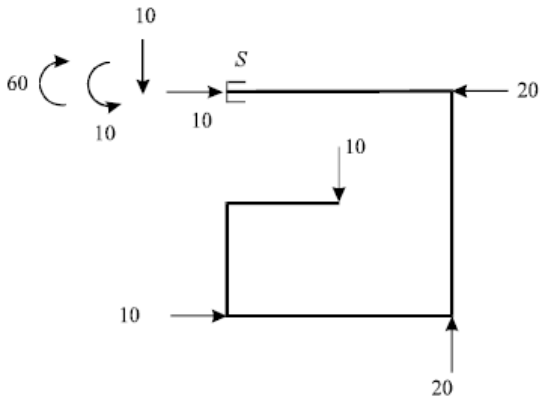
(b)



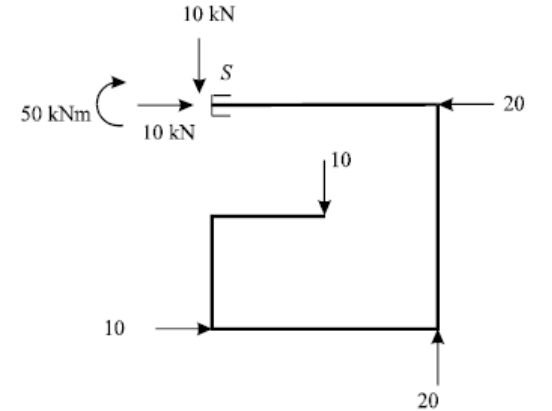
(c)



(a)



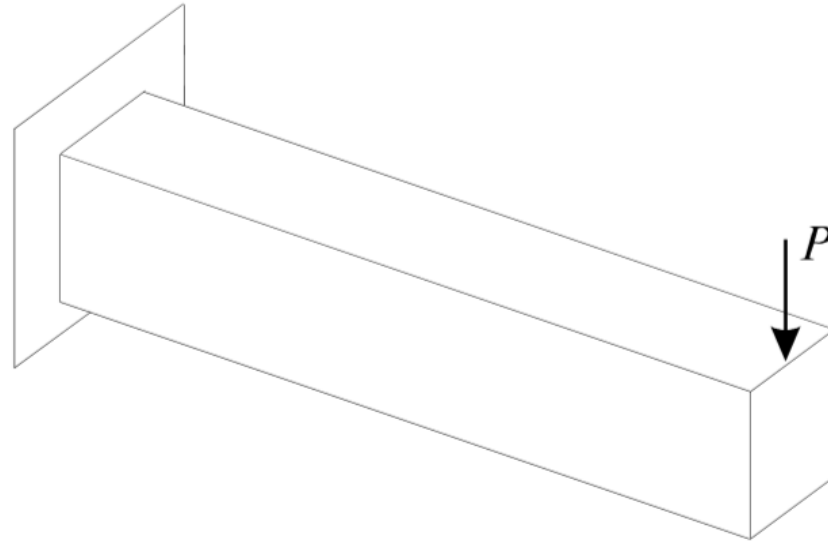
(b)



(c)

# Diagramas de esforços solicitantes

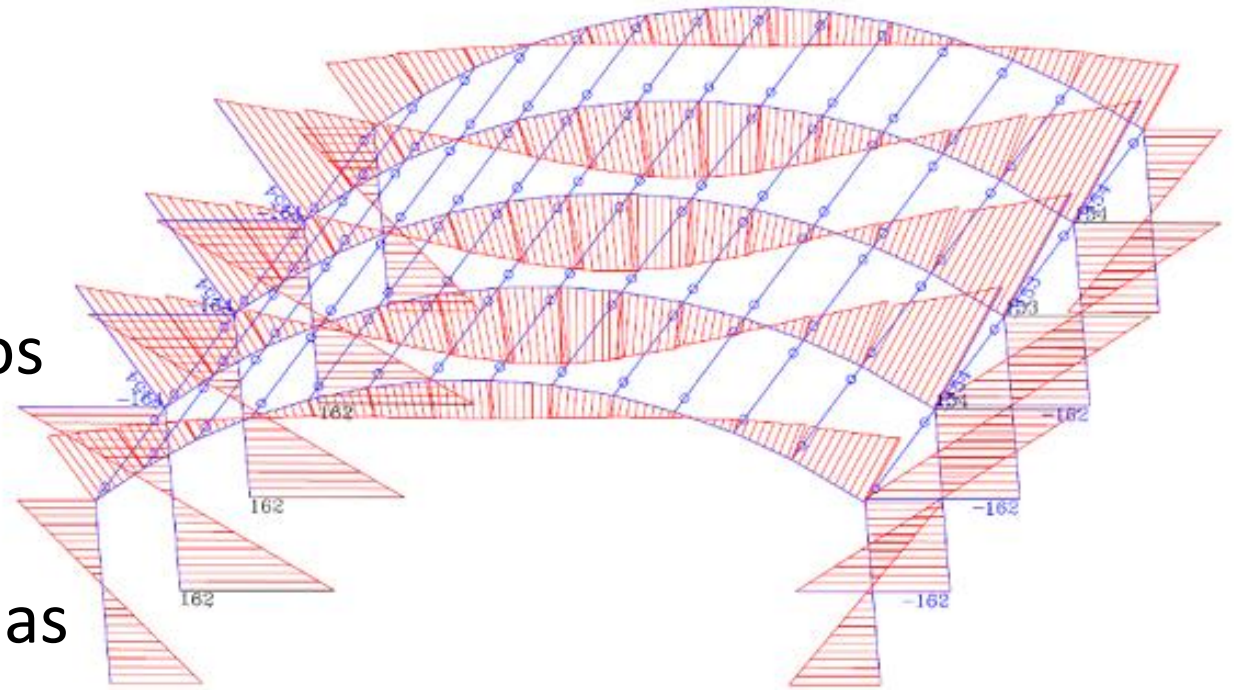
- P: Ao aumentar continuamente o valor da carga  $P$  aplicada nesta viga, onde a viga irá se romper?



- R: A viga deverá se romper junto ao engastamento porque é nesta região que ela estará sujeita aos maiores esforços.

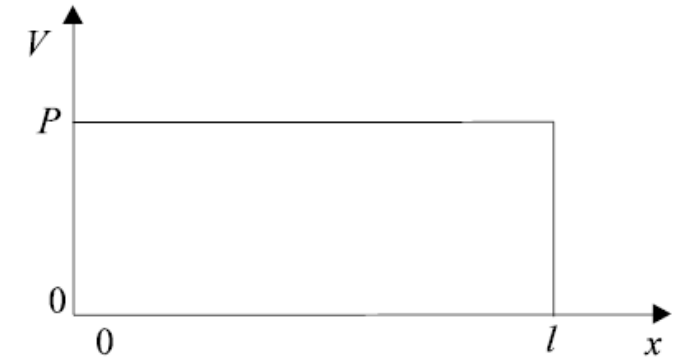
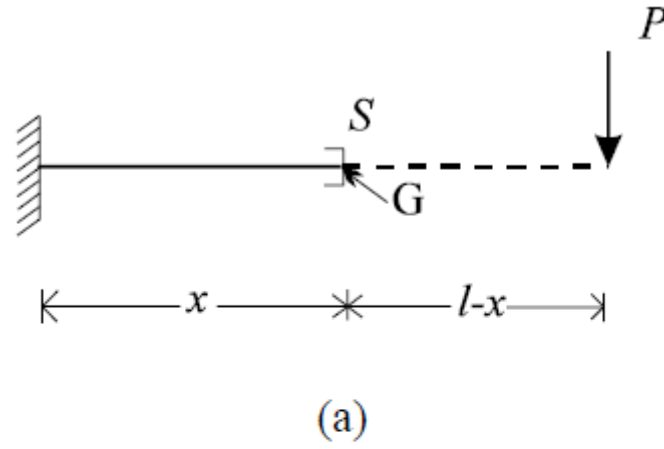
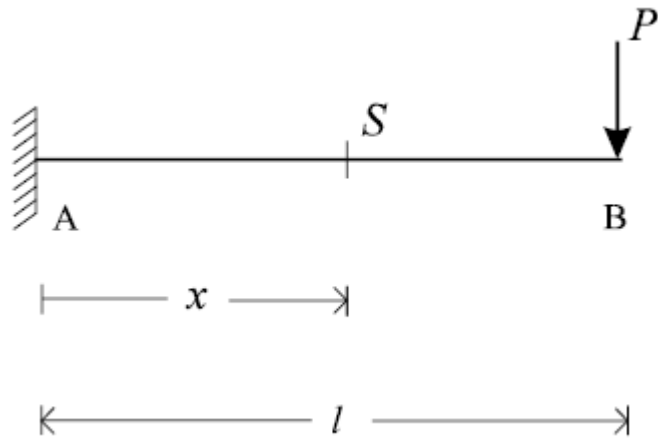
# Diagramas de esforços solicitantes

- Diagramas de esforços solicitantes de uma estrutura constituída por barras são diagramas em que se mostra graficamente como cada um dos esforços solicitantes varia ao longo das barras da estrutura.
- ... são gráficos que evidenciam as seções críticas de estruturas reticuladas.



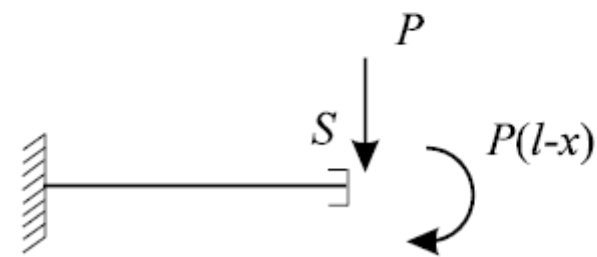
# Diagramas de esforços solicitantes

$$V(x) = P$$
$$M(x) = P(l - x)$$

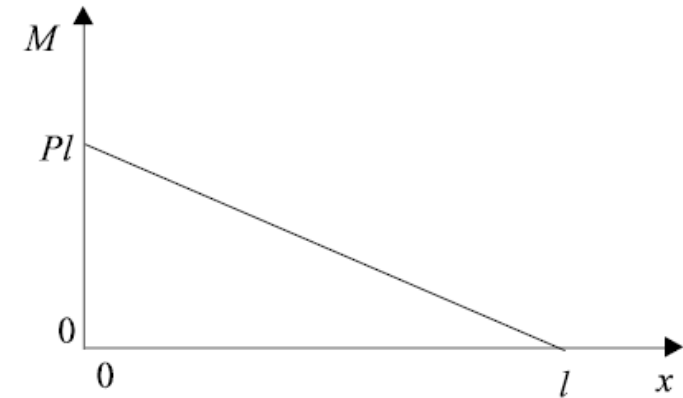


(a)

(a)

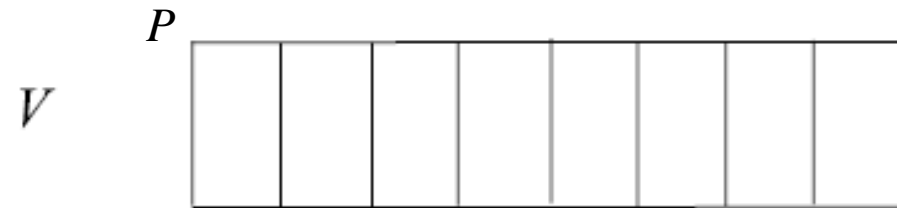
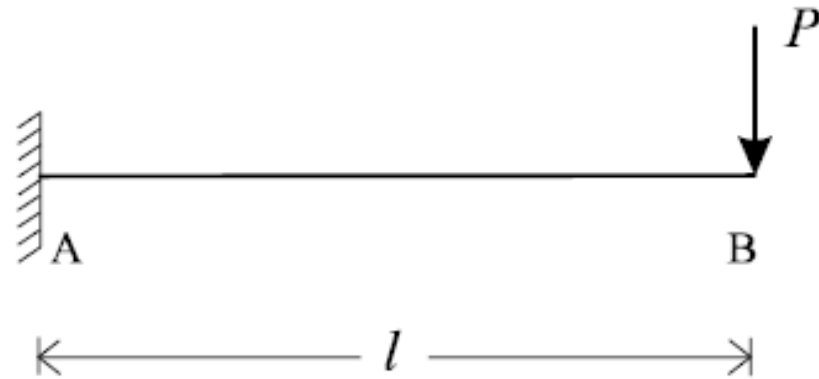


(b)

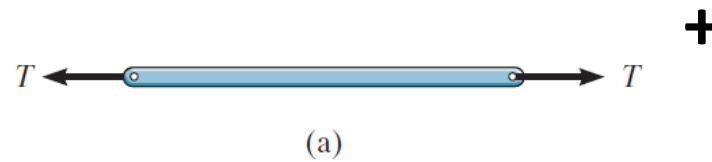
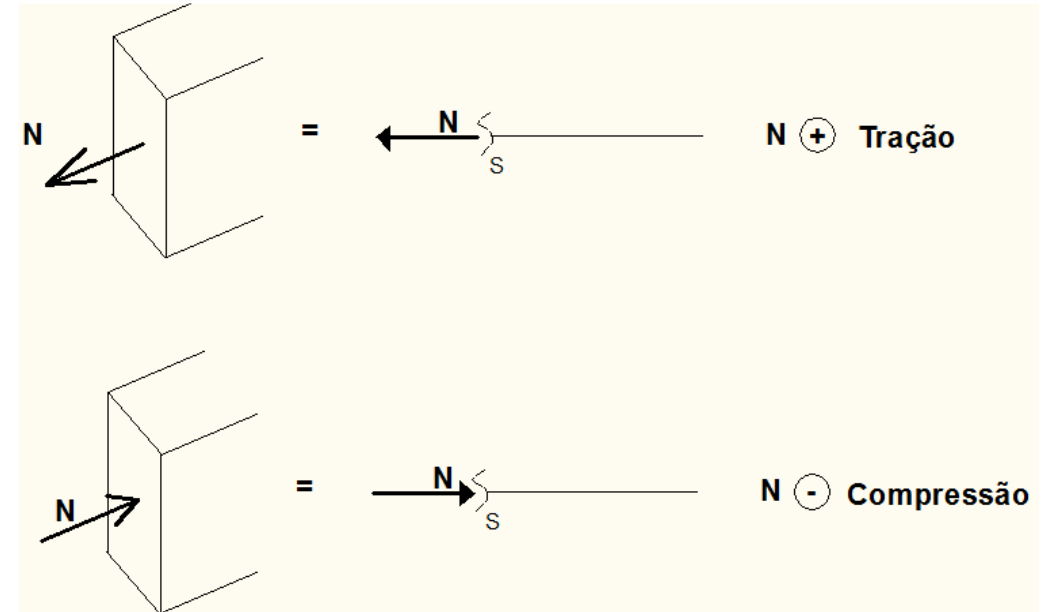
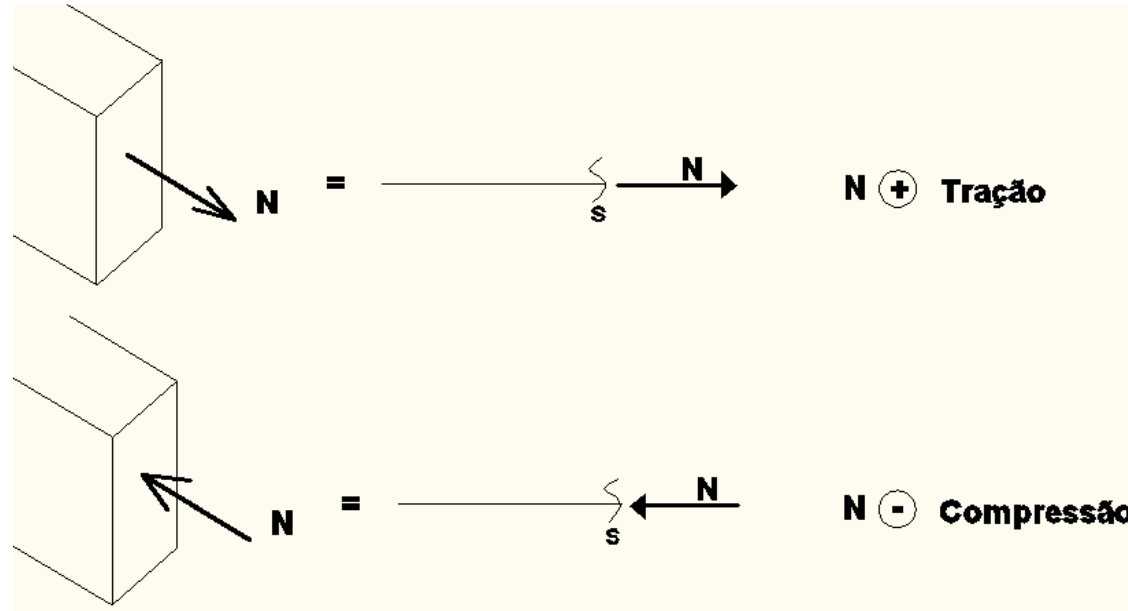


(b)

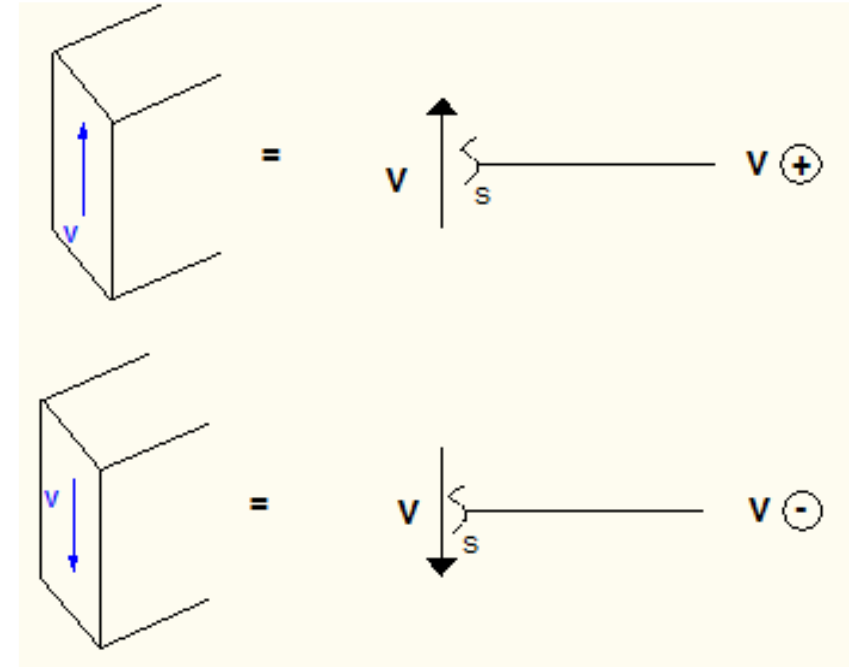
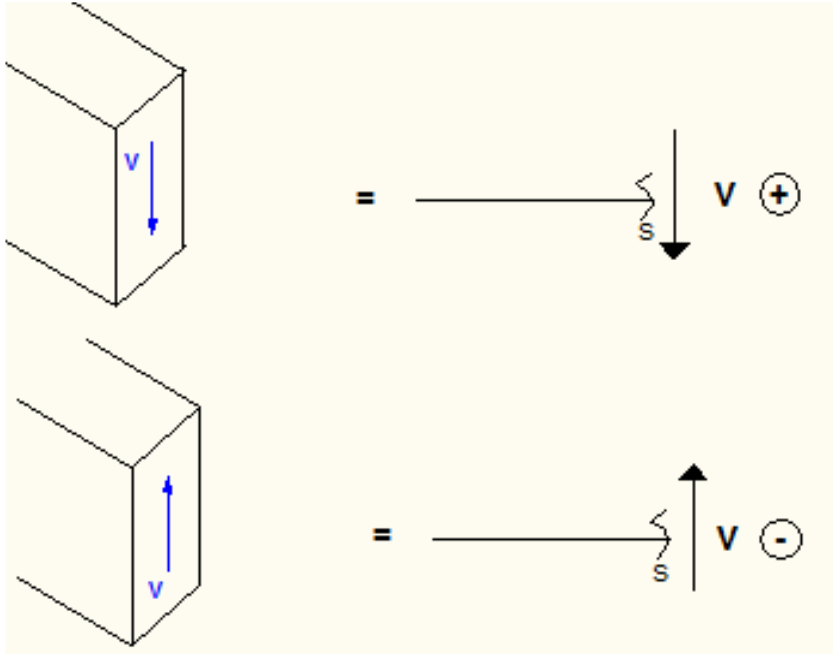
# Diagramas de esforços solicitantes



# Convenção de sinais: força normal $N$



# Convenção de sinais: força cortante $V$



Força cortante

Gira o trecho de barra em que  
atua no sentido horário

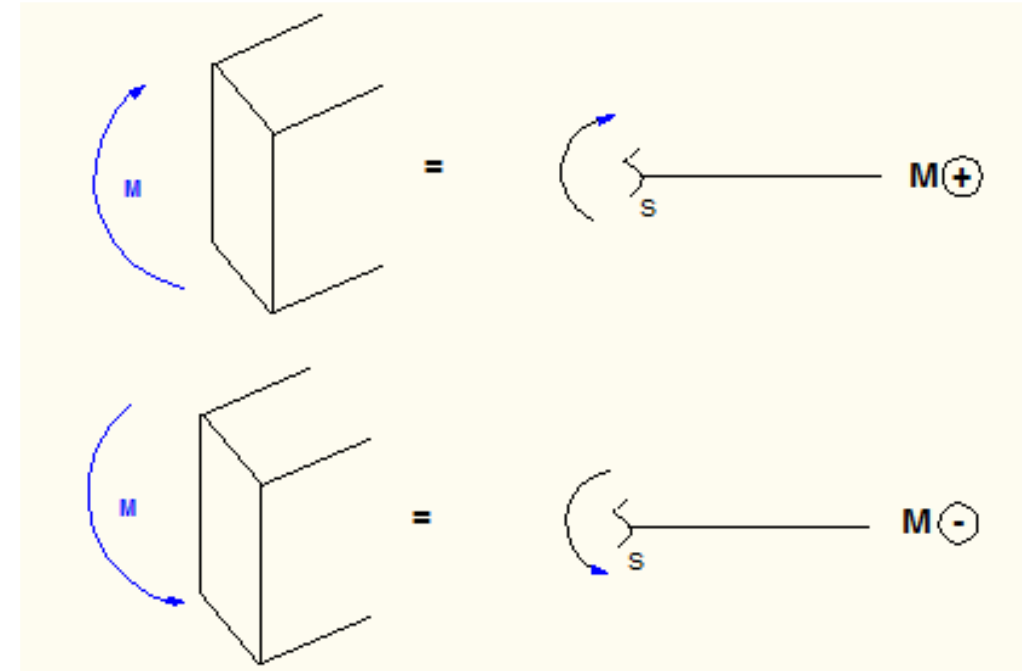
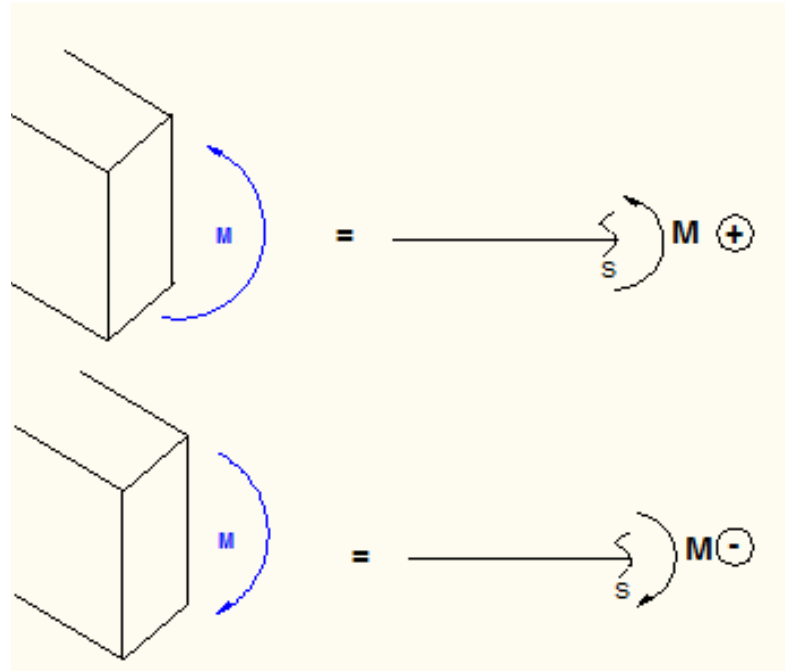
+

Gira o trecho de barra em que  
atua no sentido anti-horário

-



# Convenção de sinais: momento fletor M

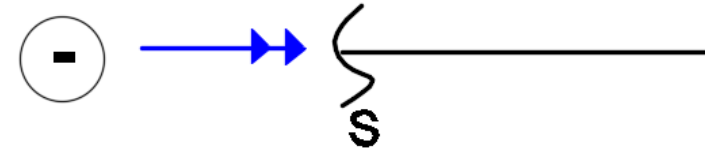
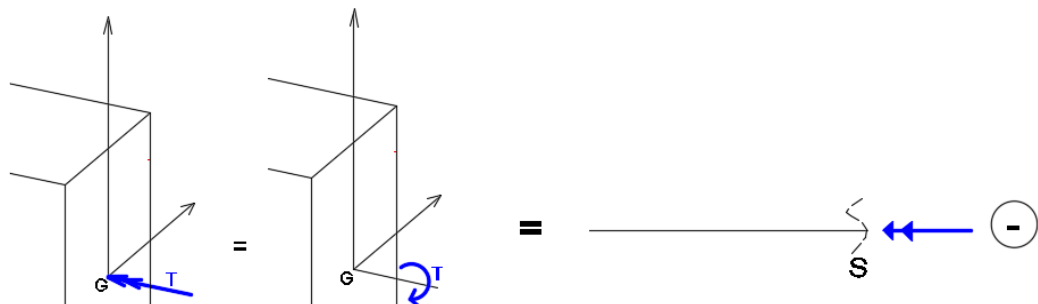
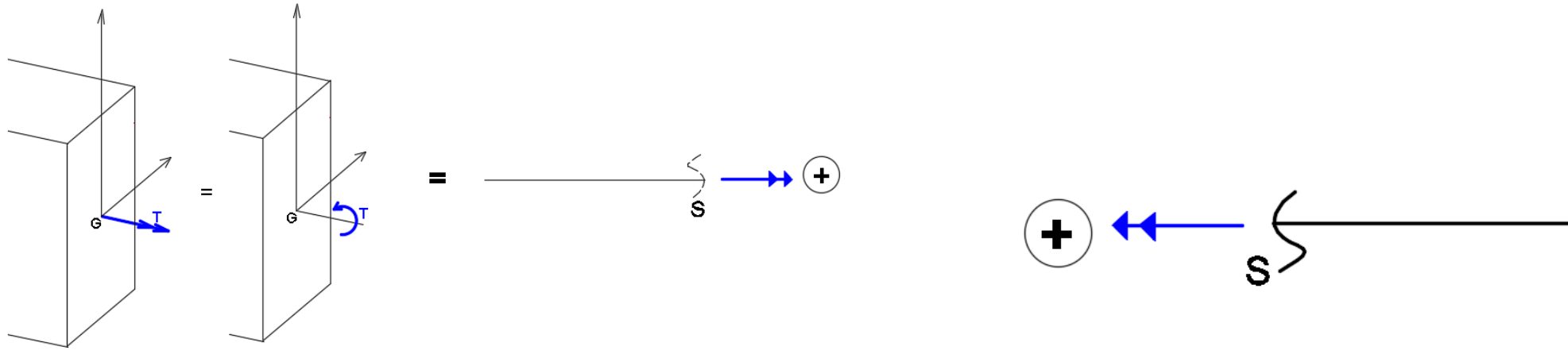


Momento fletor

Traciona as fibras inferiores da barra  
+

Traciona as fibras superiores da barra  
-

# Convenção de sinais: momento torçor T



Momento de torção<sup>2</sup>

O vetor momento tem o sentido da normal externa à seção transversal em que atua

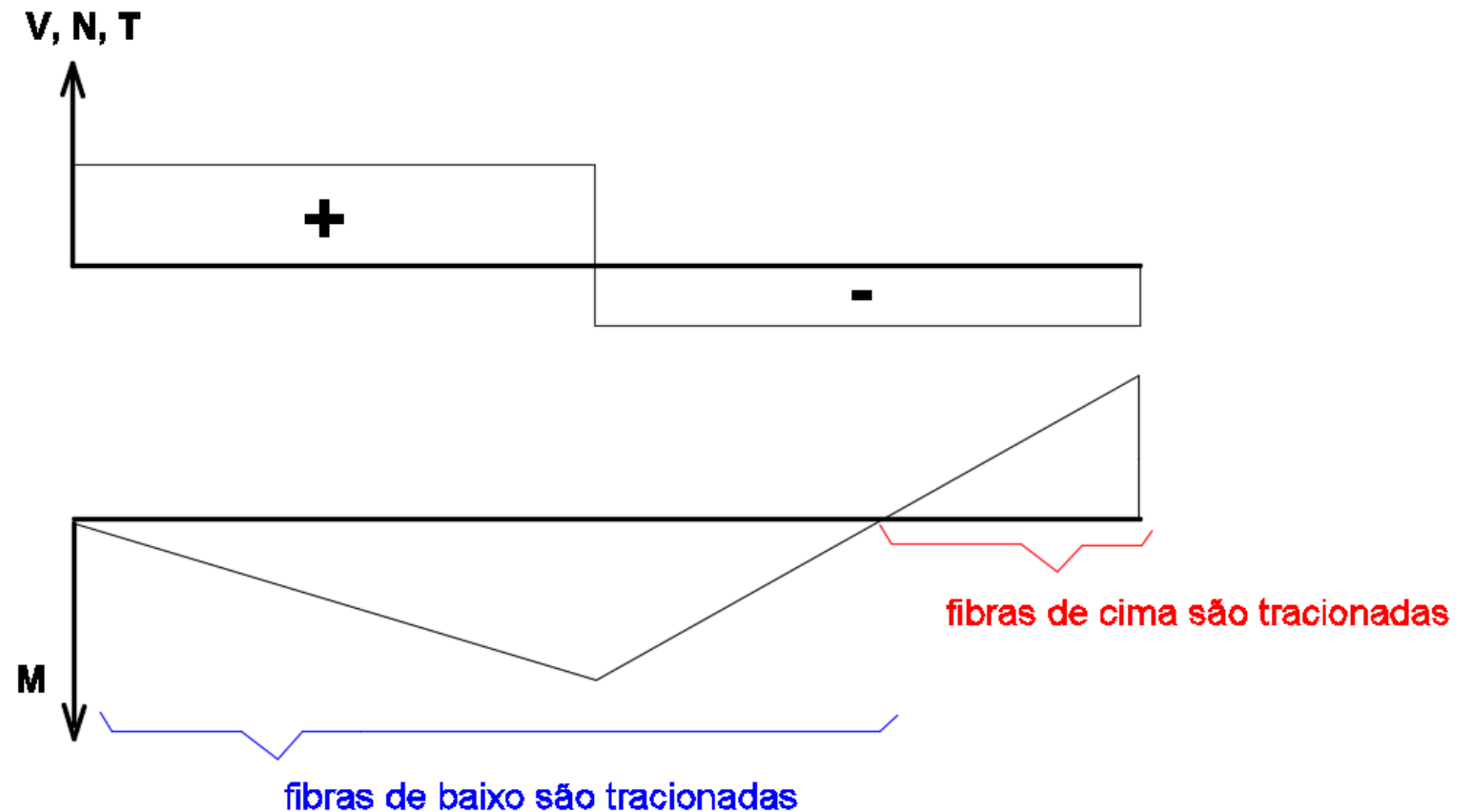
+

O vetor momento tem sentido contrário ao da normal externa à seção transversal em que atua

-

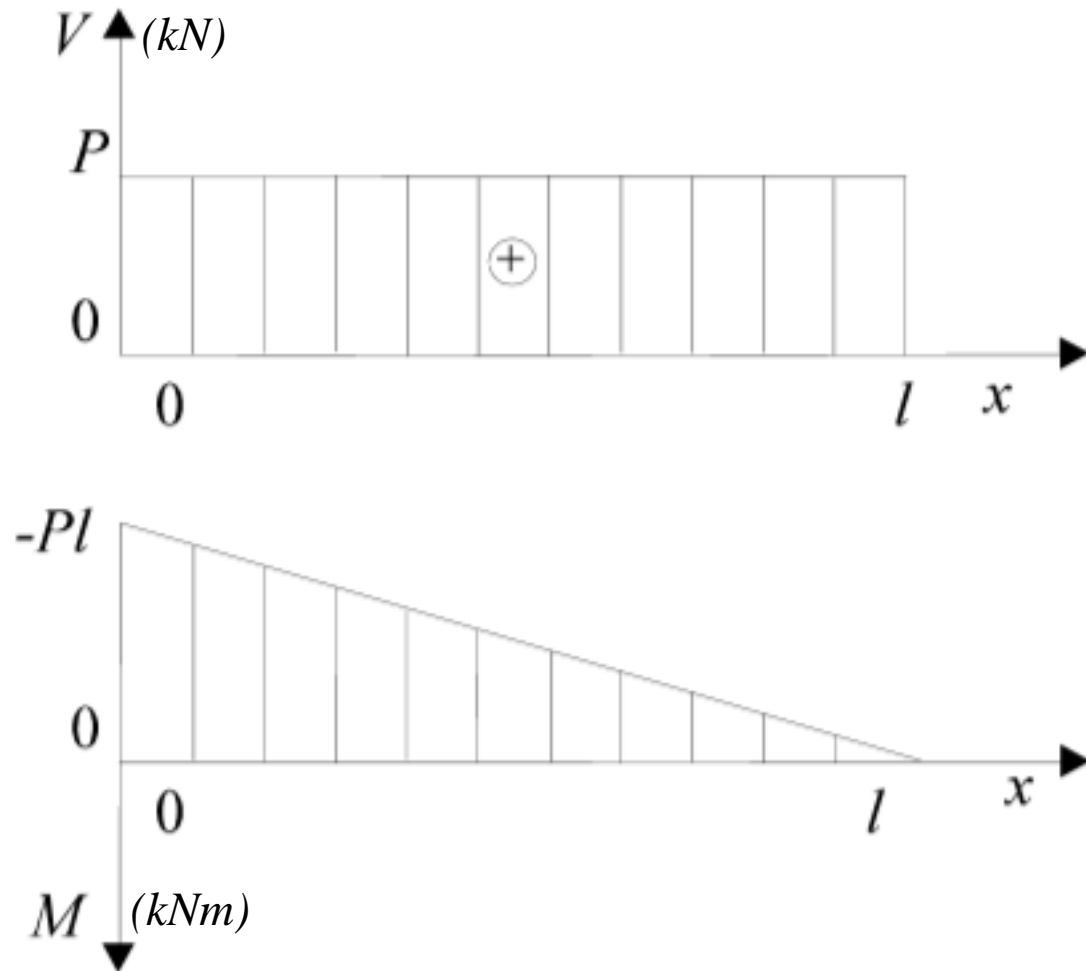
# Convenção de desenho de diagramas

- $N, V, T > 0$   
desenhar acima  
do eixo e indicar  
o sinal
- $M$  desenhar do  
lado da fibra  
tracionada

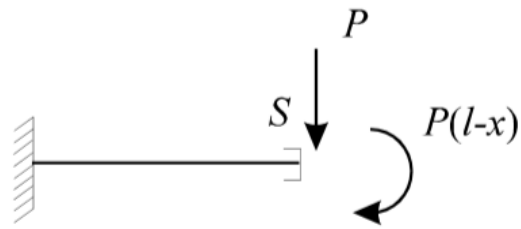
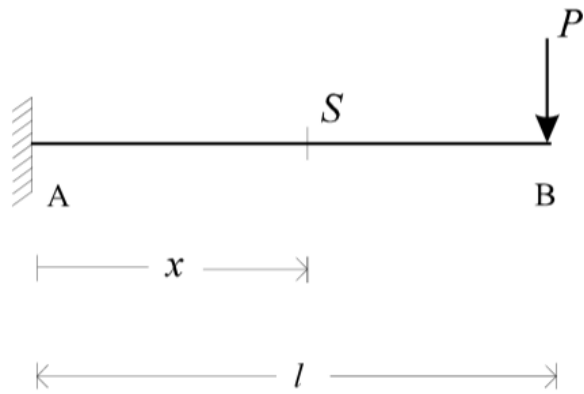


# Convenção de desenho de diagramas

- Indicação do tipo
- Hachuras: desenhadas ortogonalmente ao eixo da barra de referência
- Dimensão: indicar ao lado da indicação do tipo de diagrama
- Em geral se suprime a indicação dos eixos

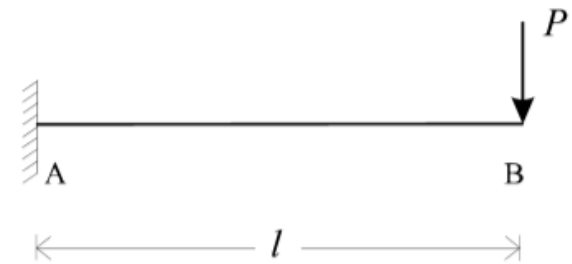


# Exemplo 1



$$V(x) = P$$

$$M(x) = P(l-x)$$



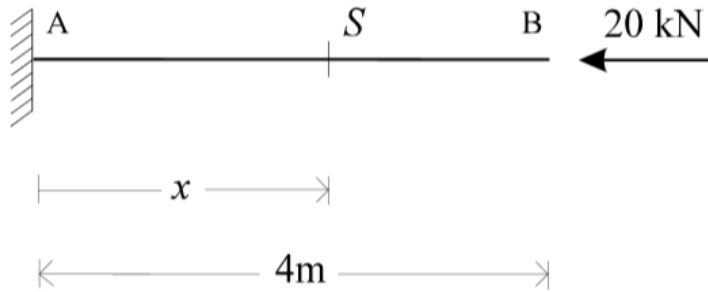
$V$



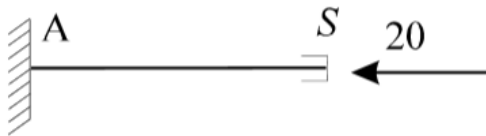
$M$



# Exemplo 2



(a)



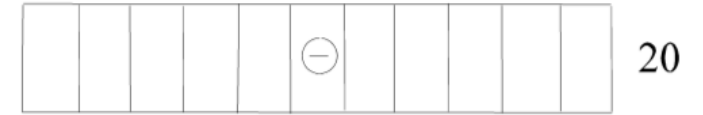
$$N(x) = -20$$

$$V(x) = 0$$

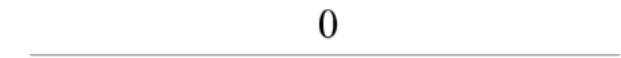
$$M(x) = 0$$

$$T(x) = 0.$$

$N$  (kN)



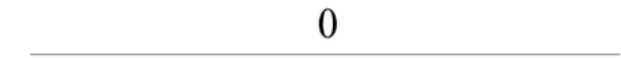
$V$  (kN)



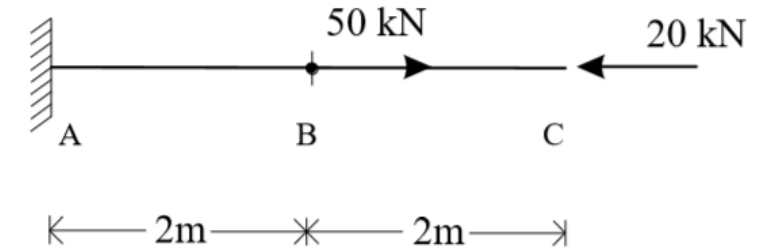
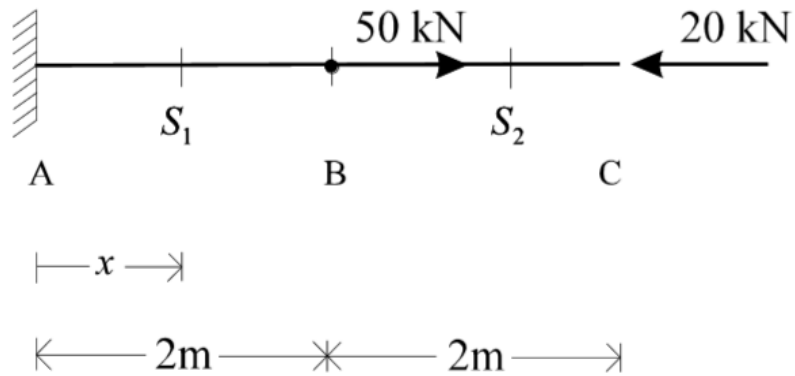
$M$  (kNm)



$T$  (kNm)



# Exemplo 3

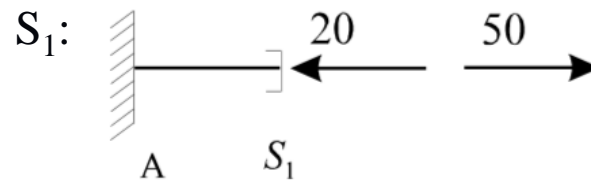


- trecho AB:  $0 \leq x < 2\text{m}$

$$N(x) = -20 + 50 = 30$$

$$V(x) = 0$$

$$M(x) = 0$$

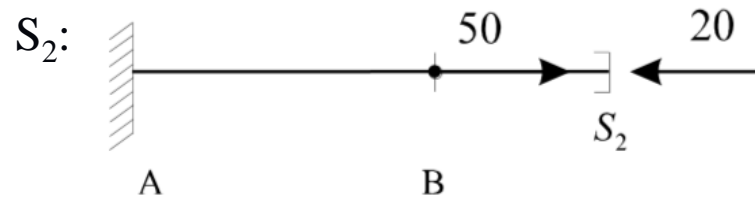


- trecho BC:  $2\text{m} < x \leq 4\text{m}$

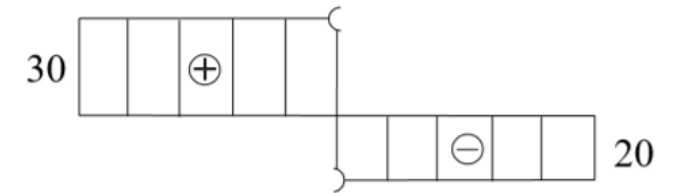
$$N(x) = -20$$

$$V(x) = 0$$

$$M(x) = 0$$



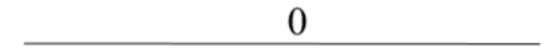
$N$  (kN)



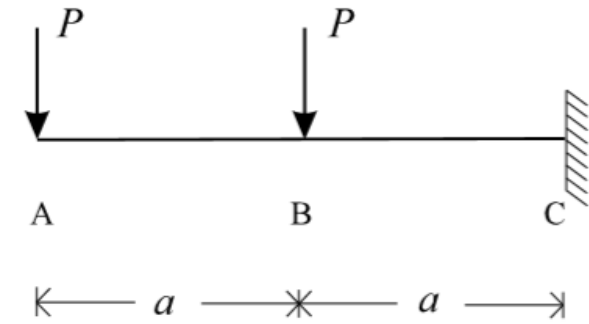
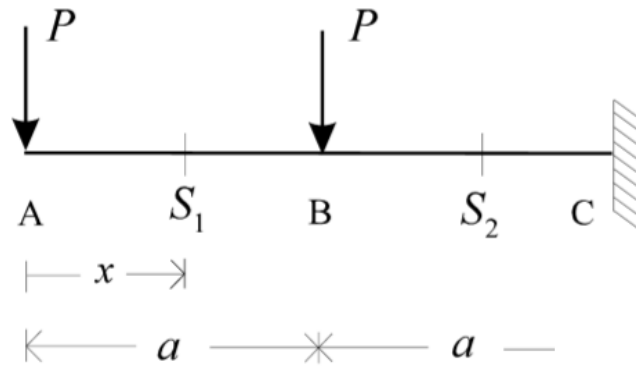
$V$  (kN)



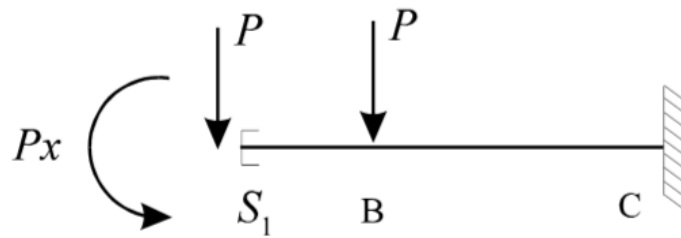
$M$  (kNm)



# Exemplo 4



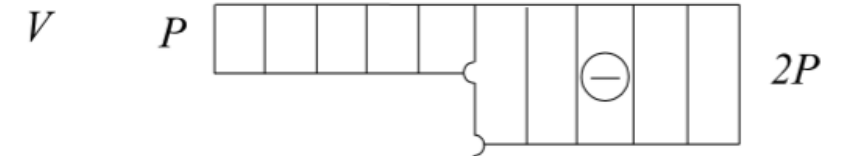
• trecho AB  $0 \leq x < a$



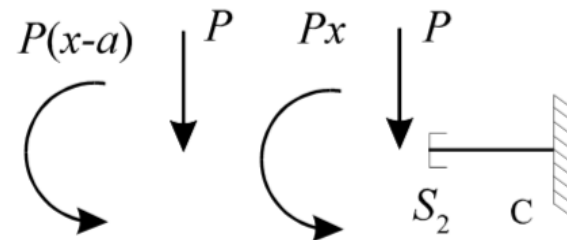
$$N(x) = 0$$

$$V(x) = -P$$

$$M(x) = -Px$$



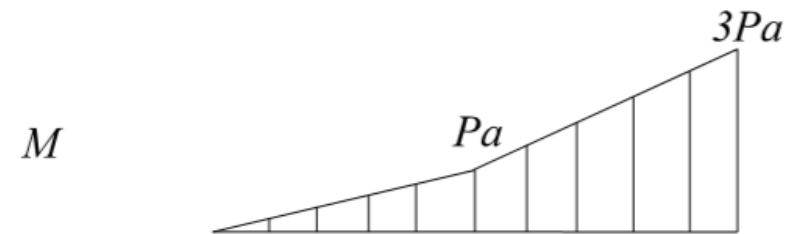
• trecho BC  $a < x \leq 2a$



$$N(x) = 0$$

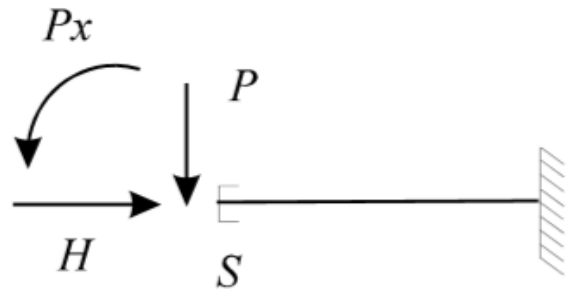
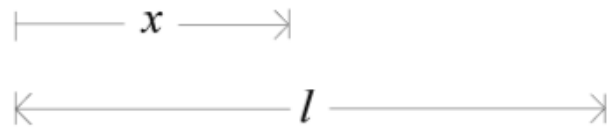
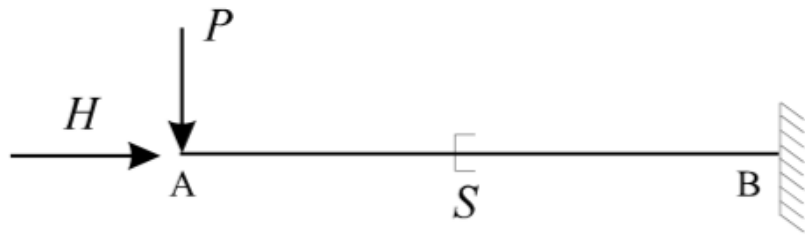
$$V(x) = -2P$$

$$M(x) = -Px - P(x-a)$$





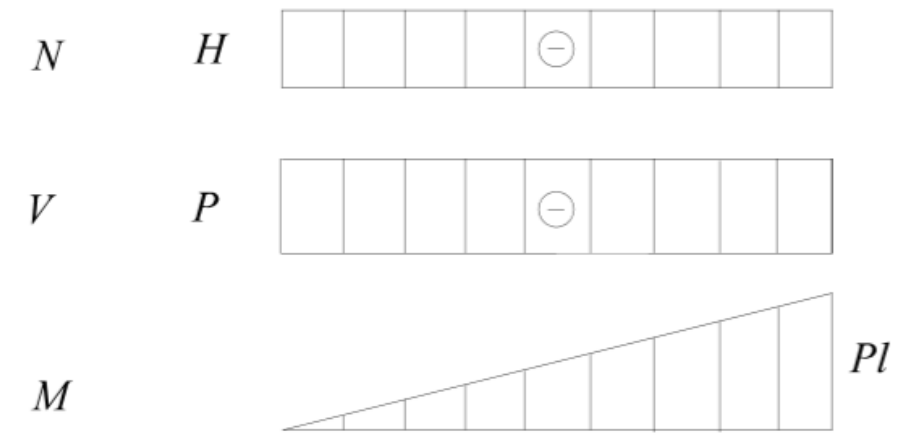
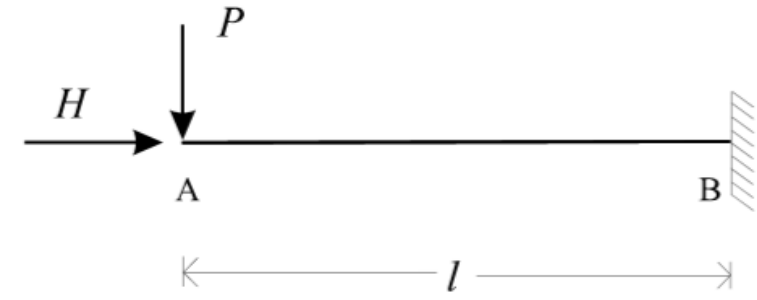
# Exemplo 5



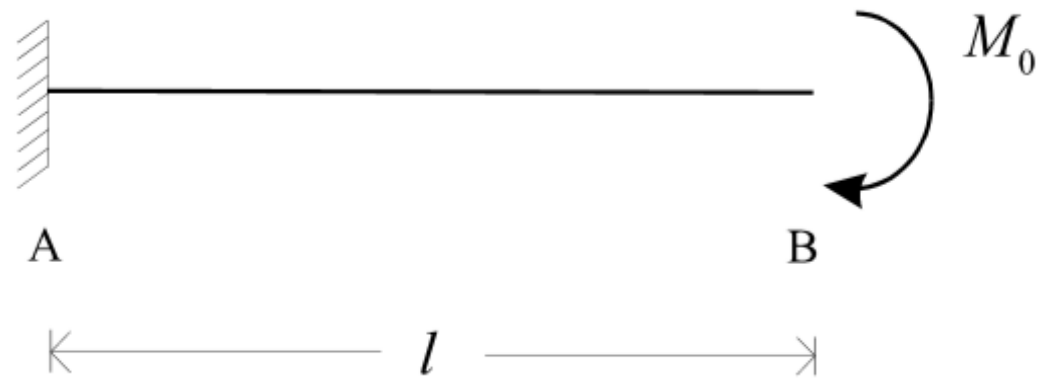
$$N(x) = -H$$

$$V(x) = -P$$

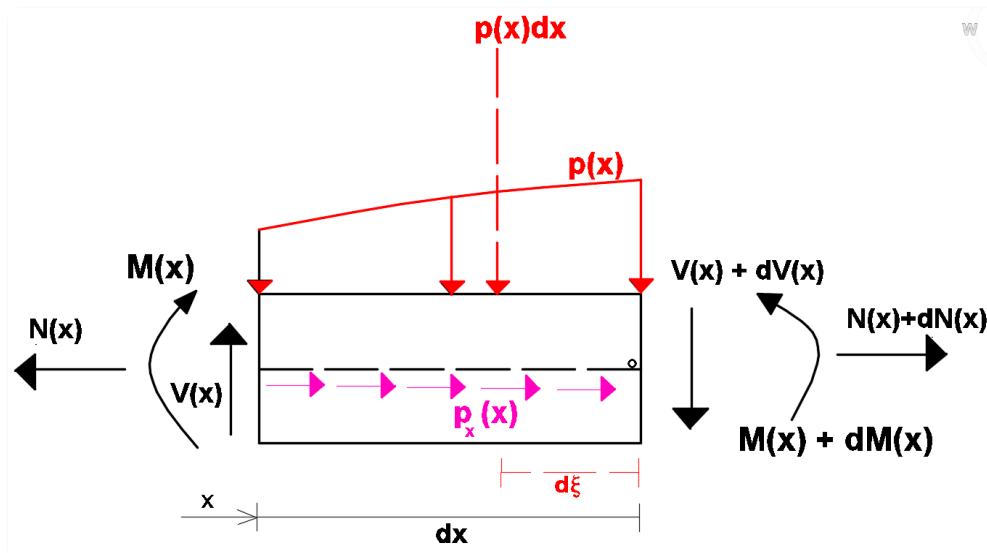
$$M(x) = -Px$$



# Exemplo 6



# Equações diferenciais de equilíbrio



$$\sum F_y = 0$$

$$V - p(x) \cdot dx - (V + dV) = 0$$

$$\frac{dV(x)}{dx} = -p(x)$$

$$\sum M_o = 0$$

$$(M + dM) + [p(x) \cdot dx] \cdot d\xi - M - V \cdot dx = 0$$

$$\frac{dM(x)}{dx} = V(x)$$

$$\frac{d^2M(x)}{dx^2} = -p(x)$$

$$\sum F_x = 0$$

$$dN(x) + p_x(x)dx = 0$$

$$\frac{dN(x)}{dx} = -p_x(x)$$

# Equações diferenciais de equilíbrio

$$\frac{dV(x)}{dx} = -p(x)$$

$$\frac{d^2M(x)}{dx^2} = -p(x)$$

$$\frac{dM(x)}{dx} = V(x)$$

a) Caso  $p(x) = 0$

Sem carga distribuída no trecho  $x_1 < x < x_2$

$V(x) = C_1 = cte \rightarrow$  Função (diagrama) de esforço cortante constante

$M(x) = C_1 \cdot x + C_2 \rightarrow$  Função (diagrama) de momento fletor linear

b) Caso  $p(x) = p = cte$

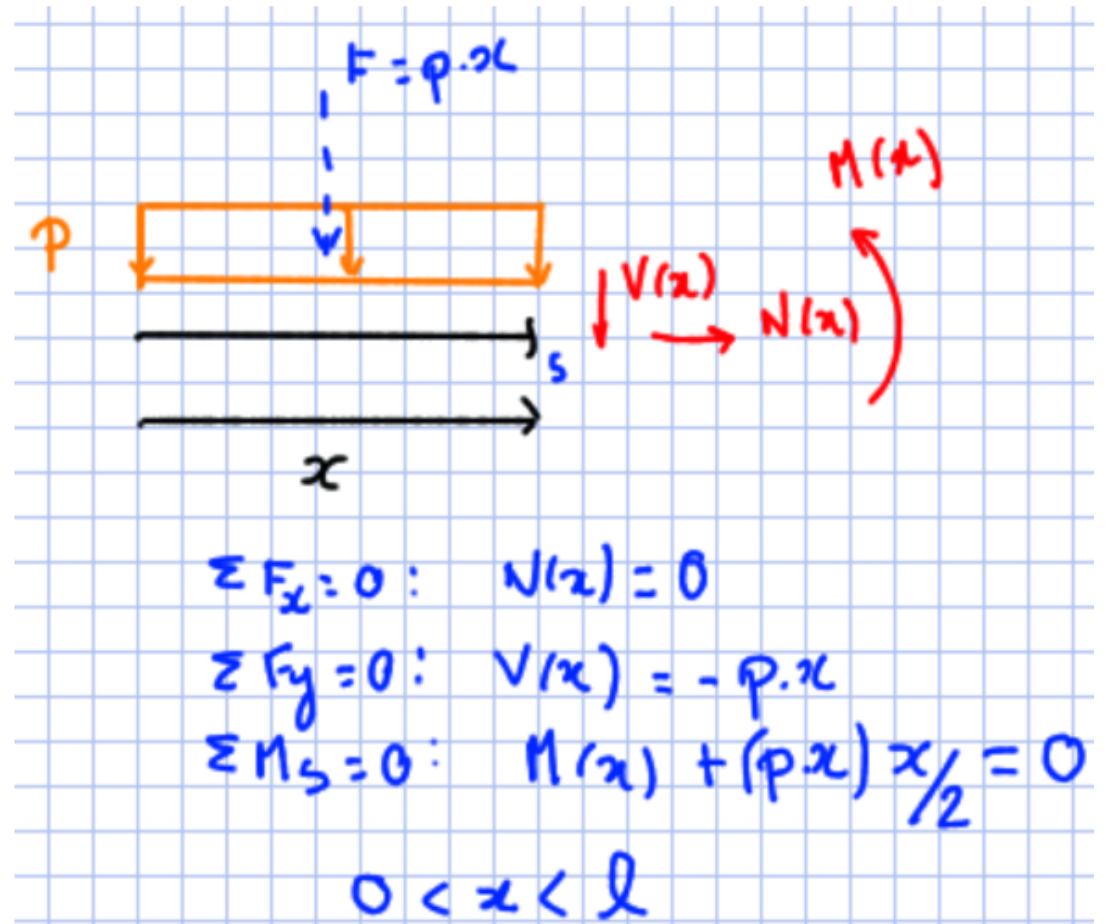
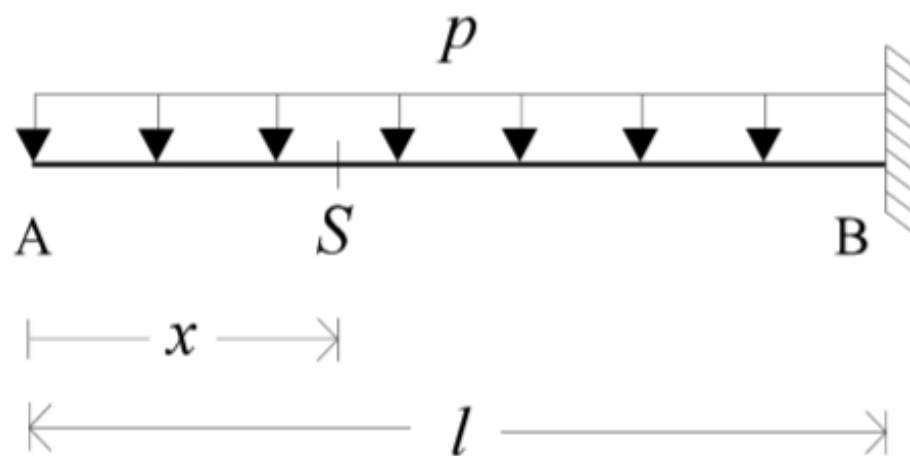
Carga distribuída uniforme no trecho  $x_1 < x < x_2$

$V(x) = -p x + C_1 \rightarrow$  Função (diagrama) de esforço cortante linear

$M(x) = -p \frac{x^2}{2} + C_1 \cdot x + C_2 \rightarrow$  Função (diagrama) de momento fletor é parábola

c) Generalização para  $\forall p(x)$  é imediata

# Exemplo 7



# Exemplo 7

- Valores das extremidades do trecho:

- $V(x) = -px$

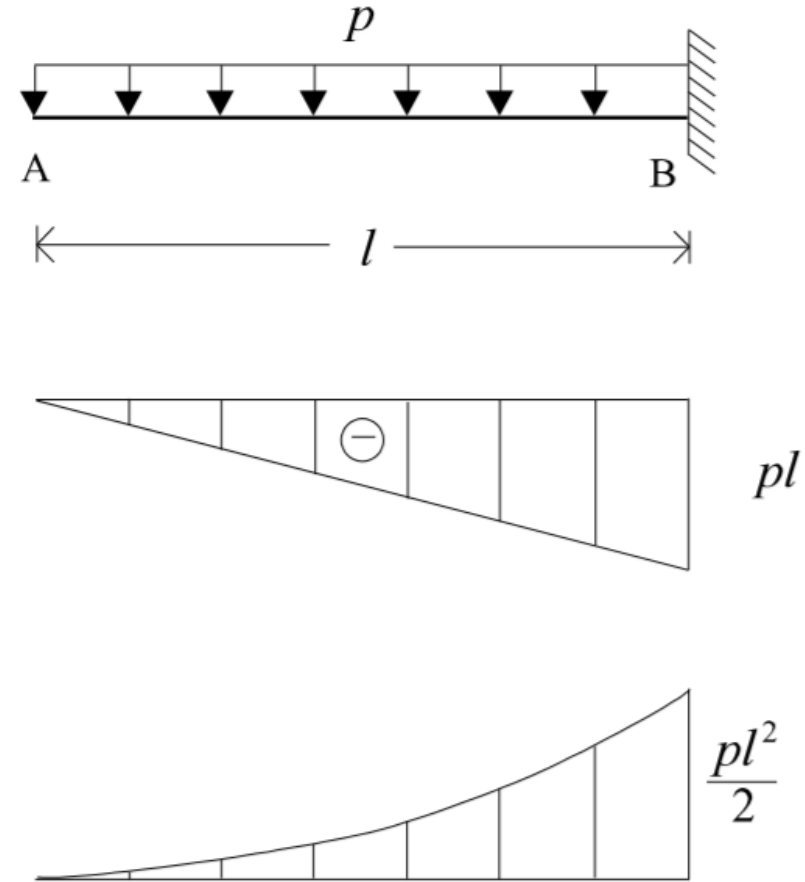
$$V(0) = 0$$

$$V(l) = -pl$$

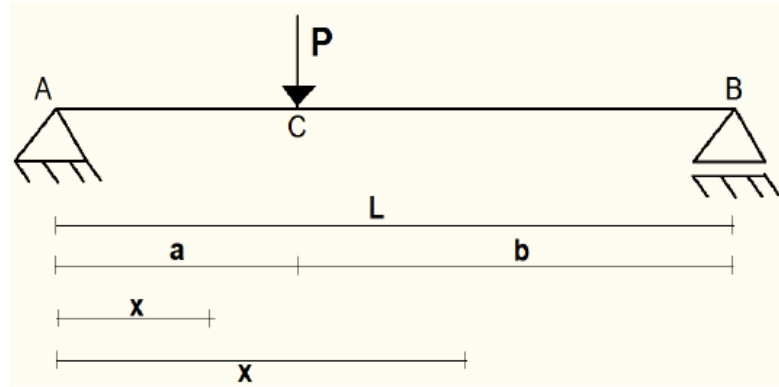
- $M(x) = -\frac{px^2}{2}$

$$M(0) = 0$$

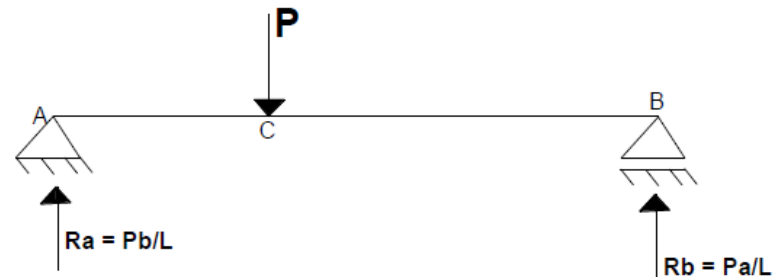
$$M(l) = -\frac{pl^2}{2}$$



# Exemplo 8



## 1. Obter reações:



## 2. Esforços em cada trecho:

Determinação das equações nos cortes de cada trecho:

Trecho 1:  $0 < x < a$

$$\sum F_y = 0$$

$$R_a - V(x) = 0 \rightarrow V(x) = R_a$$

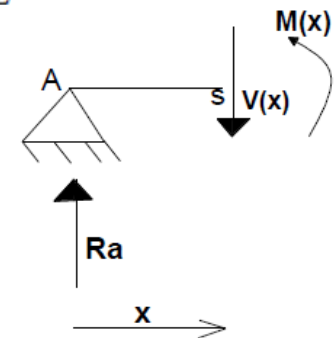
$$V(x) = P \cdot b / L \text{ (constante)}$$

$$\sum M_s = 0$$

$$M(x) - R_a \cdot x = 0 \rightarrow M(x) = R_a \cdot x$$

$$M(x) = P \cdot b \cdot x / L \text{ (reta)}$$

$$\text{Para } x = a : M(a) = P \cdot b \cdot a / L$$



# Exemplo 8

Trecho 2:  $a < x < L$

$$\sum F_y = 0$$

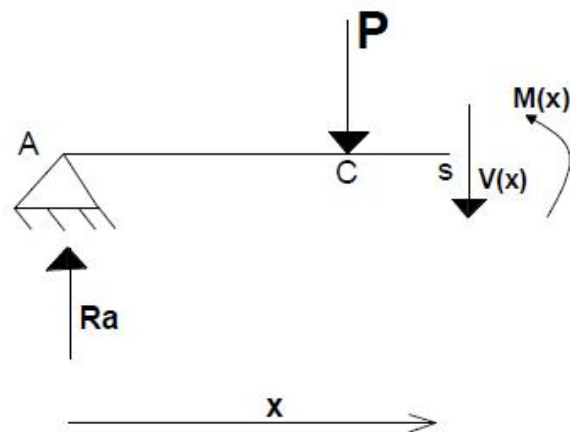
$$R_a - P - V(x) = 0 \rightarrow V(x) = R_a - P = P \cdot b/L - P = P(b/L - 1) = -P \cdot a/L$$

$$V(x) = -P \cdot a/L \text{ (constante)}$$

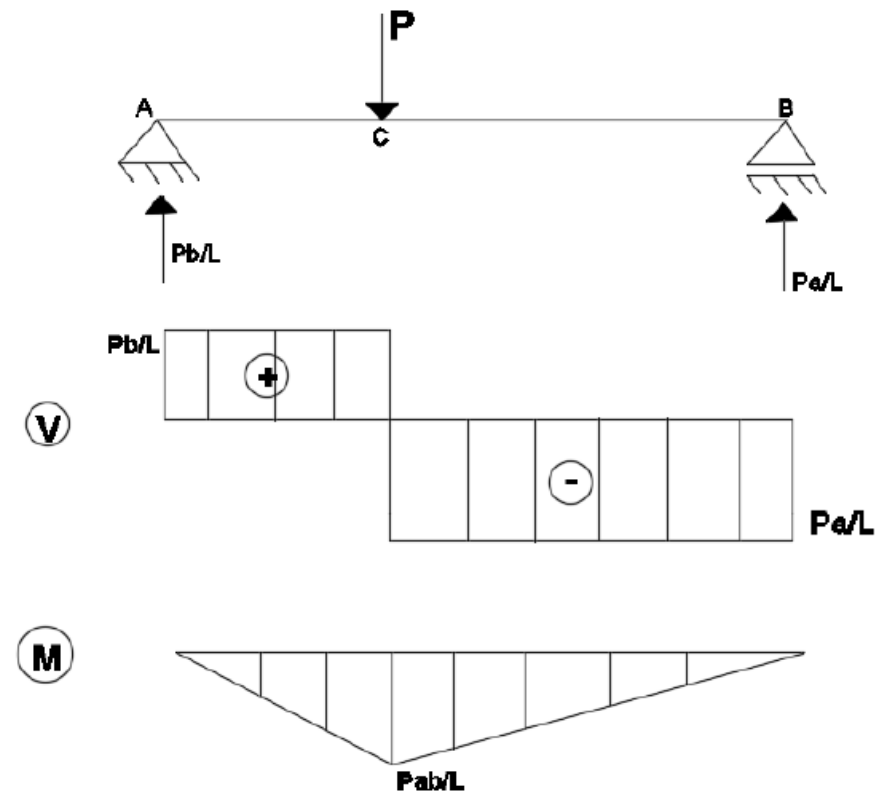
$$\sum M_z = 0$$

$$M(x) + P \cdot (x - a) - R_a \cdot x = 0 \rightarrow M(x) = P \cdot b \cdot x/L - P(x - a)$$

$$M(x) = P \cdot a - (P \cdot a/L) \cdot x \text{ (reta)}$$

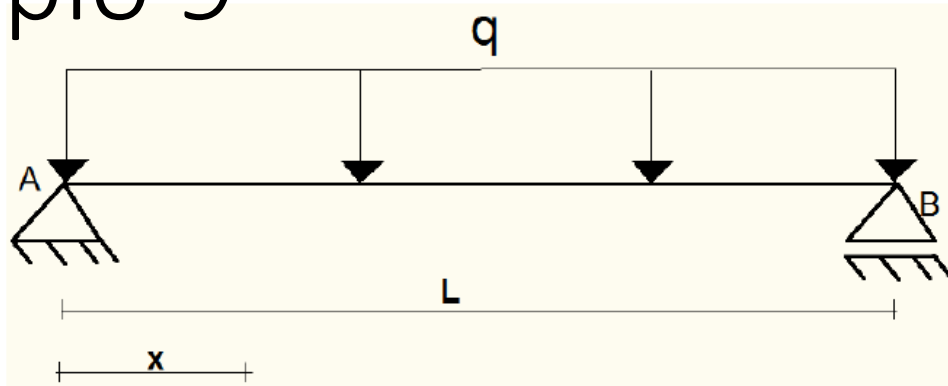


## 3. Diagramas:

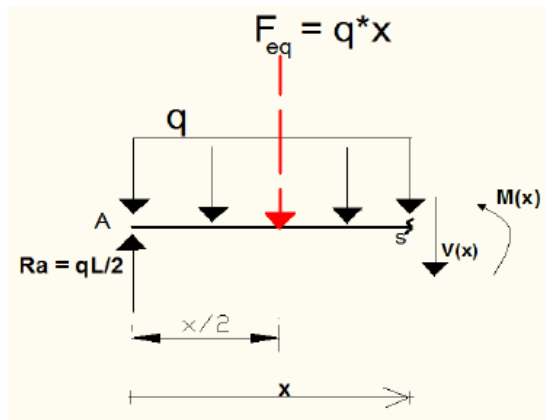
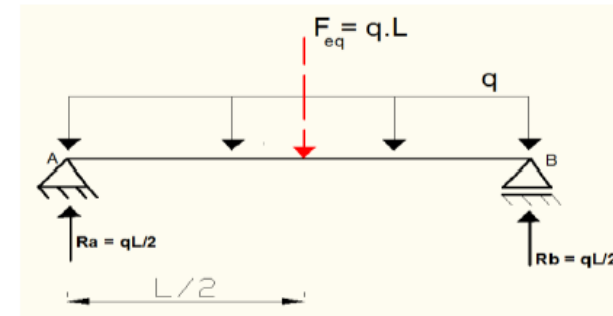




# Exemplo 9



## 1. Obter reações:



## 2. Esforços em cada trecho:

Determinação das equações nos cortes de cada trecho:

Trecho único:  $0 < x < L$

$$\sum F_y = 0 \rightarrow R_a - q \cdot x - V(x) = 0 \rightarrow V(x) = R_a - q \cdot x$$

$$V(x) = q \cdot L / 2 - q \cdot x \text{ (linear)}$$

$$\sum M_z = 0 \rightarrow M(x) + (q \cdot x) \cdot x / 2 - R_a \cdot x = 0 \rightarrow M(x) = R_a \cdot x - q \cdot x^2 / 2$$

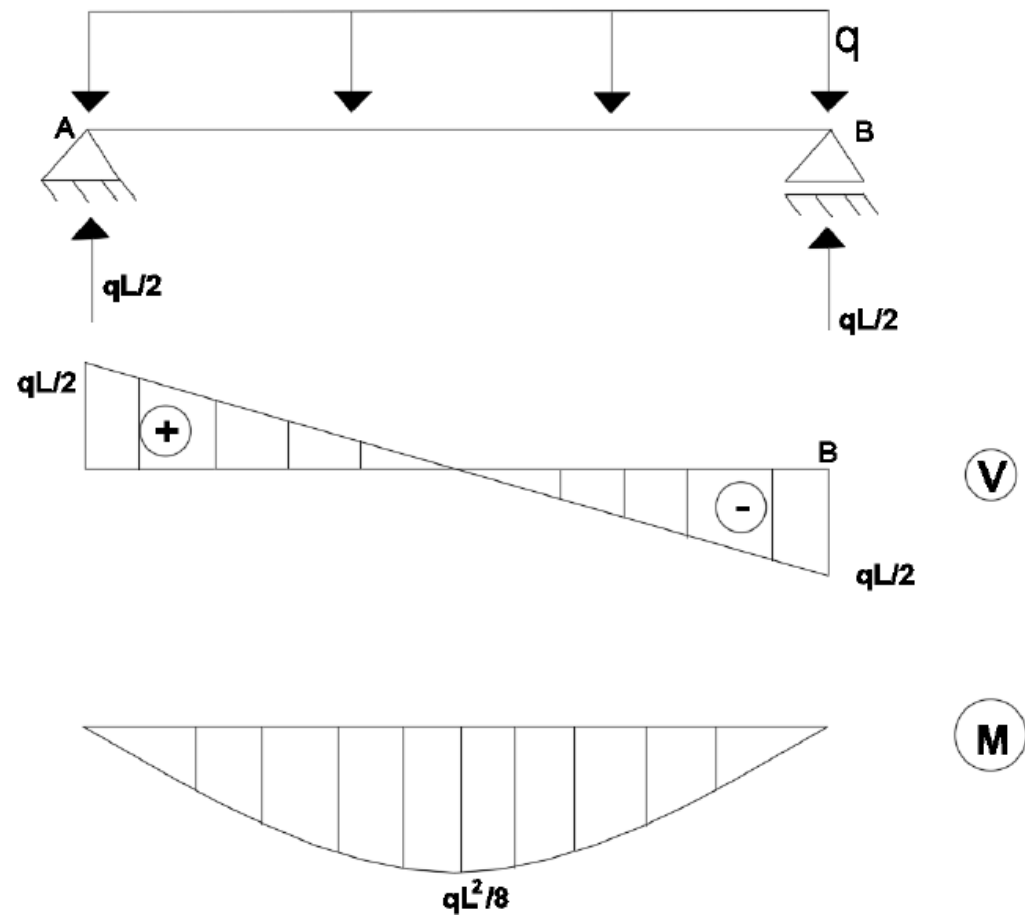
$$M(x) = (q \cdot L / 2) \cdot x - q \cdot x^2 / 2 \text{ (parábola)}$$

# Exemplo 9

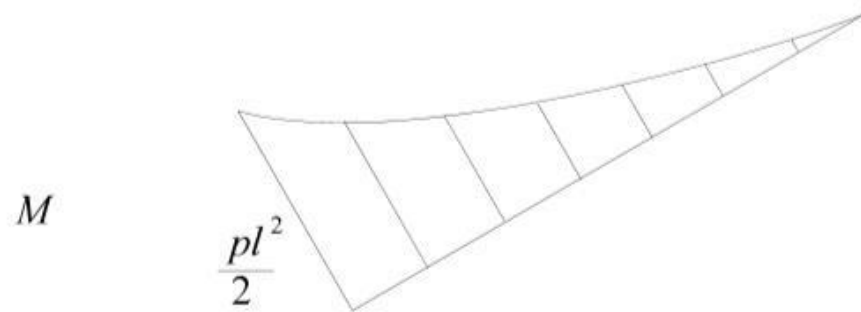
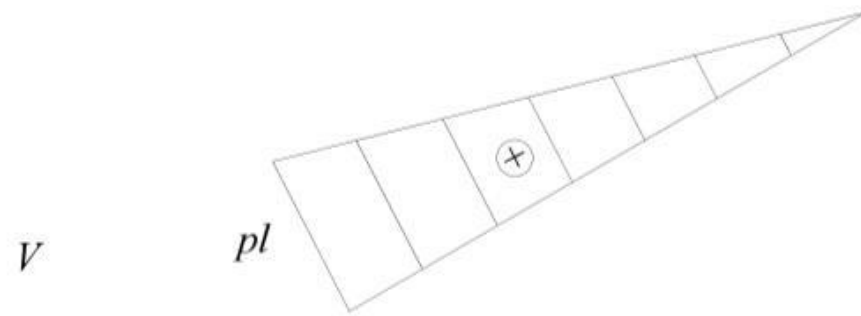
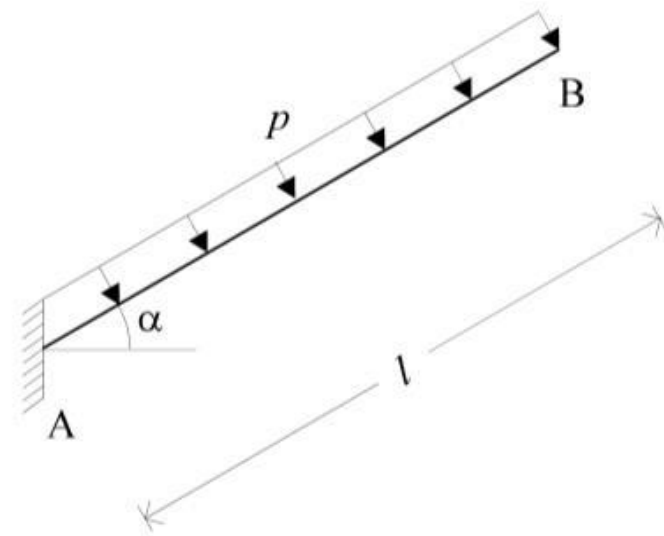
## 3. Diagramas:

$$\frac{dM(x)}{dx} = V(x) = 0 \rightarrow q \cdot L/2 - q \cdot x = 0 \rightarrow x = \frac{L}{2}$$

$$M(L/2) = (q \cdot L/2) \cdot L/2 - q \cdot (L/2)^2 / 2 = \frac{q \cdot L^2}{8}$$

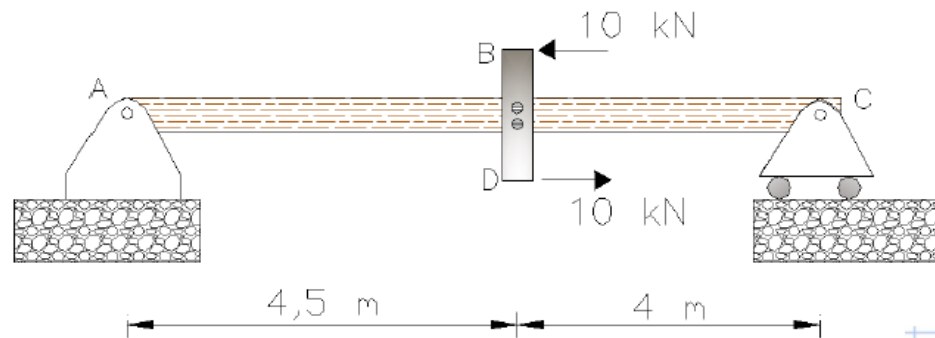


# Exemplo 10



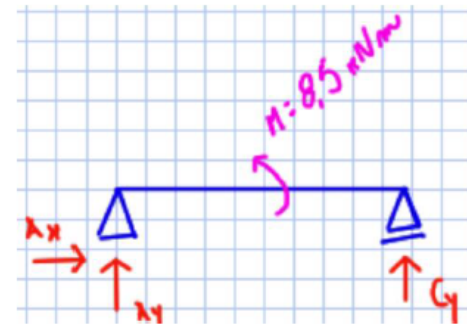
# Exemplo 11\*

- Determinar os esforços solicitantes  $M, V$  e  $N$ ) na viga  $AC$ , sob a ação do binário indicado, onde a barra rígida  $BD$  tem dimensão de 85 cm



$$\sum F_X = 0: \rightarrow A_X = 0; \sum M_C = 0: \rightarrow 8,5 \cdot A_Y = 10 \cdot 0,85 \rightarrow$$

$$A_Y = 1 \text{ kN } (\uparrow); C_Y = -1 \text{ kN } (\downarrow)$$



# Exemplo 11

Dois trechos para realizar os cortes:

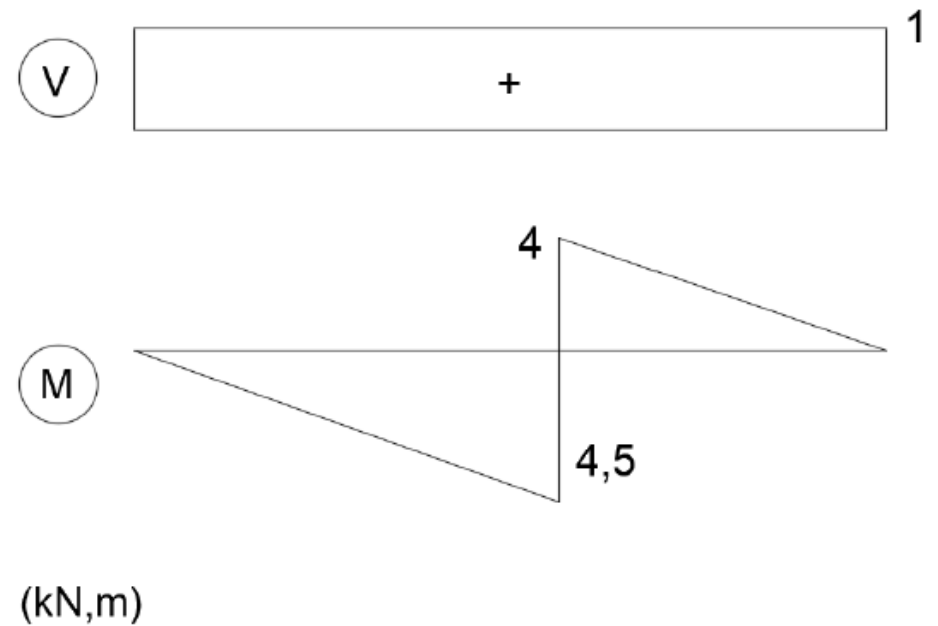
*Trecho 1:*  $0 < x < 4,5$

$$\sum F_y = 0: \rightarrow V(x) = 1 \rightarrow V(x) = 1; \sum M_S = 0: \rightarrow M(x) = x$$

Valores nos extremos do intervalo:

*Trecho 2:*  $4,5 < x < 8,5$

$$\sum F_y = 0: \rightarrow V(x) = 1 \rightarrow V(x) = 1; \sum M_S = 0: \rightarrow M(x) = x - 8,5$$



# Exemplo 12\*

- Determinar os diagramas de esforços solicitantes. Dados  $q = 28 \text{ kN/m}$  e  $P = 5 \text{ kN}$

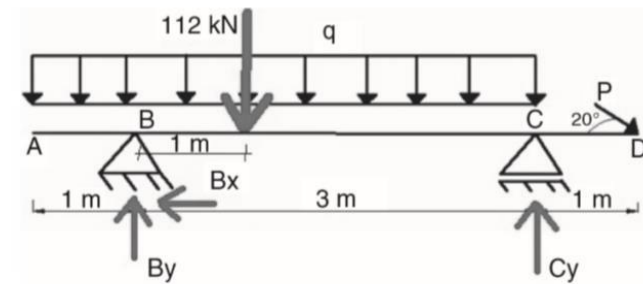
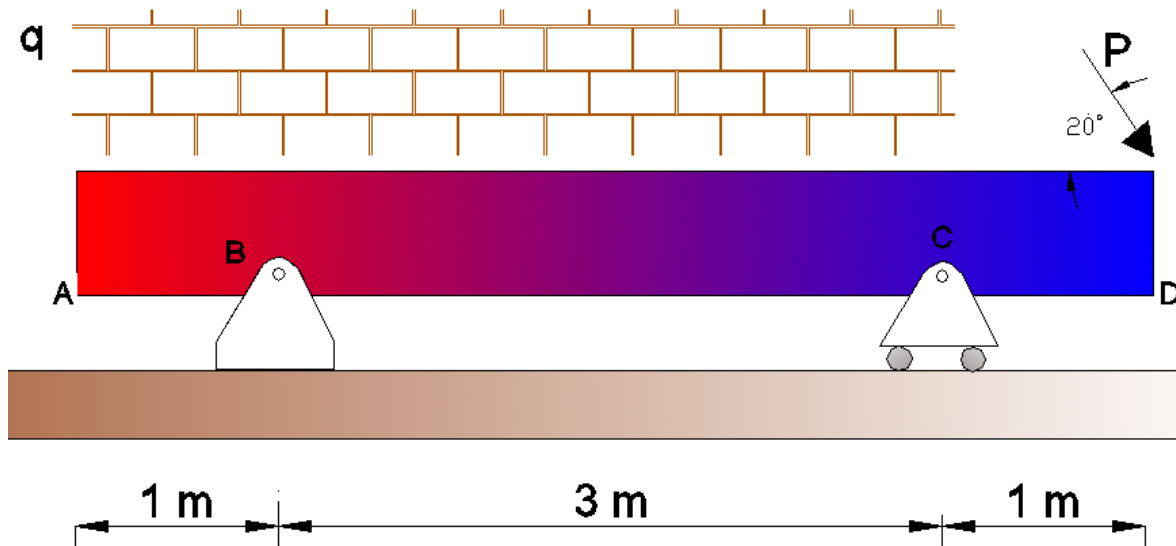
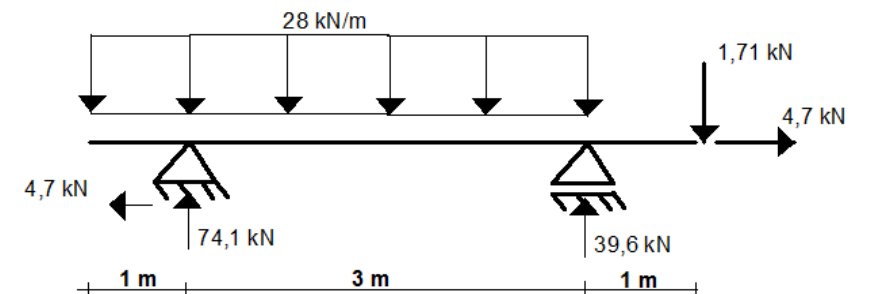


FIGURA 1.56B Indicação das reações e forças resultantes na viga.

$$\sum F_x = 0: \rightarrow B_x - 5 \cdot \cos 20^\circ = 0 \rightarrow B_x = 4,7 \text{ kN} (\leftarrow)$$

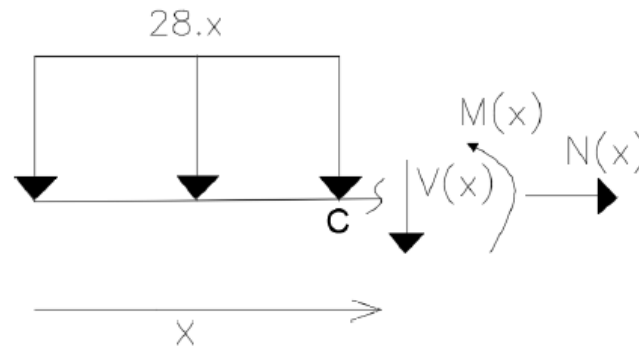
$$\sum M_B = 0: \rightarrow 3 \cdot C_y = 112 \cdot 1 + 1,71 \cdot 4 \rightarrow C_y = 39,6 \text{ kN} (\uparrow)$$

$$\sum F_y = 0: \rightarrow B_y = 112 + 1,71 - 39,6 = 74,1 \text{ kN} (\uparrow)$$



# Exemplo 12

Trecho 1:  $0 < x < 1$



$$\sum F_x = 0 : \rightarrow N(x) = 0 \rightarrow N(x) = 0$$

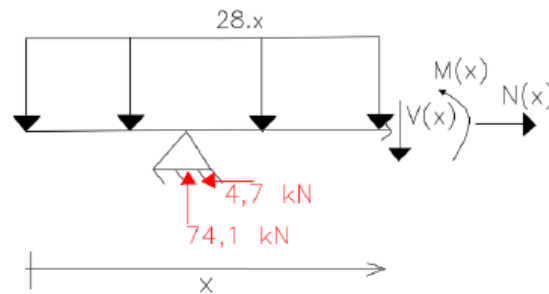
$$\sum F_y = 0 : \rightarrow V(x) + 28x = 0 \rightarrow V(x) = -28 \cdot x$$

$$\sum M_s = 0 : \rightarrow M(x) + 28x \cdot \frac{x}{2} = 0 \rightarrow M(x) = -14 \cdot x^2$$

Valores nos extremos do intervalo:  $N(0) = N(1) = 0$ ;  $V(0) = 0$ ;  $V(1) = -28$   
 $M(0) = 0$ ;  $M(1) = -14$

*Não tem derivada nula nesse intervalo para construir  $M(x)$*

Trecho 2:  $1 < x < 4$



$$\sum F_x = 0 : \rightarrow N(x) - 4,7 = 0 \rightarrow N(x) = 4,7$$

$$\sum F_y = 0 : \rightarrow V(x) + 28 \cdot x - 74,1 = 0 \rightarrow V(x) = -28 \cdot x + 74,1$$

$$\sum M_s = 0 : \rightarrow M(x) + 28 \cdot x \cdot \frac{x}{2} - 74,1 \cdot (x - 1) = 0 \rightarrow M(x) = -14 \cdot x^2 + 74,1 \cdot x - 74,1$$

Valores nos extremos do intervalo:  $N(1) = N(4) = 4,7$ ;  $V(1) = 46,1$ ;  $V(4) = -37,9$   
 $M(1) = -14$ ;  $M(4) = -1,7$

Obter ponto de extremo de  $M$ , fazendo:  $V(x) = -28x + 74,1 = 0 \rightarrow x = 2,65 \text{ m}$

$$M(x = 2,65) = -14 \cdot (2,65^2) + 74,1 \cdot (2,65) - 74,1 = 23,9$$

# Exemplo 12

Trecho 3:  $4 < x < 5$

$$\sum F_x = 0 : \rightarrow N(x) - 4,7 = 0 \rightarrow N(x) = 4,7$$

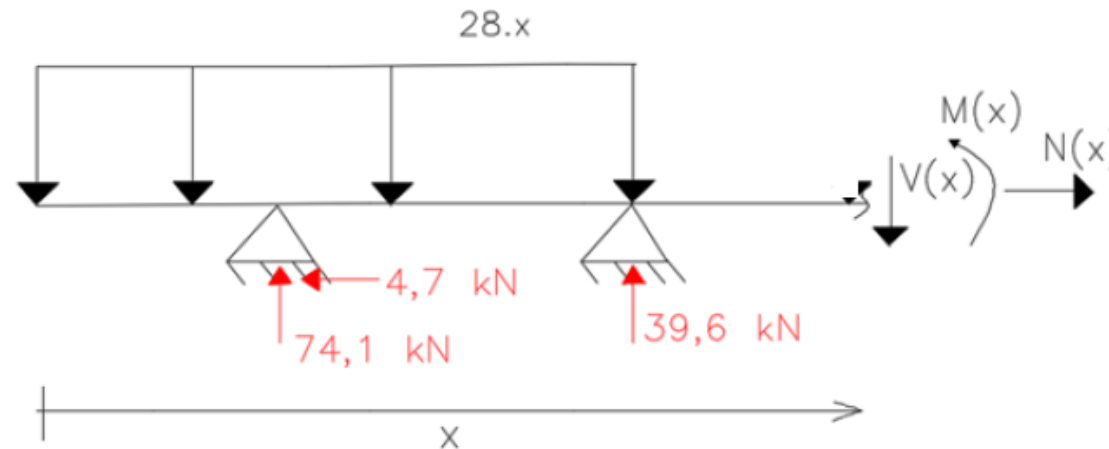
$$\sum F_y = 0 : \rightarrow V(x) + 112 - 74,1 - 39,6 = 0 \rightarrow V(x) = 1,71$$

$$\sum M_s = 0 : \rightarrow M(x) + 112 \cdot (x - 2) - 74,1 \cdot (x - 1) - 39,6 \cdot (x - 4) = 0 \rightarrow$$

$$M(x) = 1,71x - 8,55$$

Valores nos extremos do intervalo:  $N(4) = N(5) = 4,7$ ;  $V(4) = V(5) = 1,71$

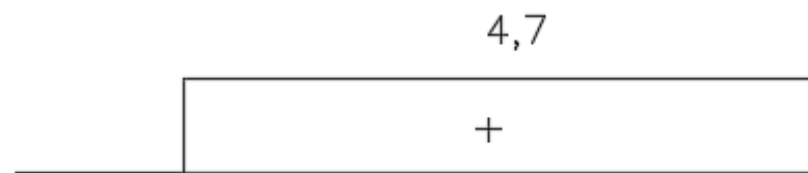
$$M(4) = -1,71; \quad M(5) = 0$$



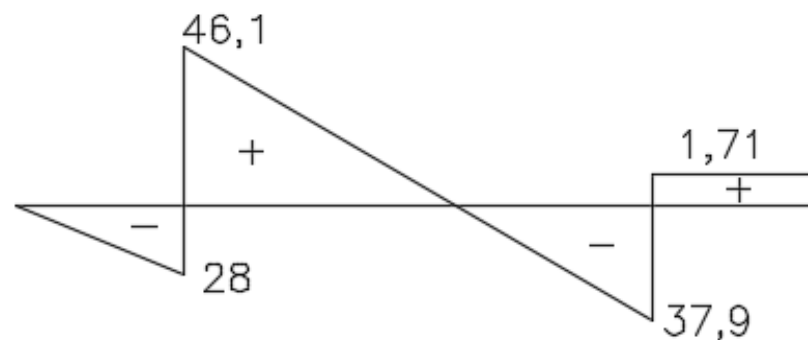


# Exemplo 12

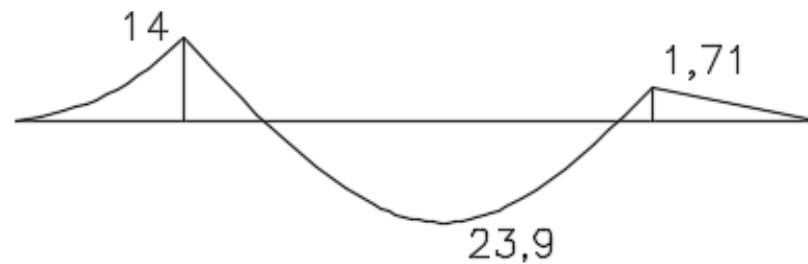
N



V



M



(kN,m)

# Princípio da superposição dos efeitos

